

SILIZIUM - NPN - PLANAR - EPITAXIAL - HF - TRANSISTOREN

 für Breitbandverstärker, speziell für Antennenverstärker
 bis Bereich III (BFR 63) bzw. bis Bereich V (BFR 64)

Mechanische Daten:

Gehäuse: Kunststoff mit Gewindestutzen (SOT-48/3)

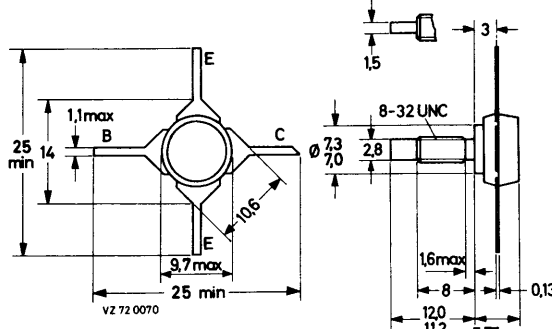
Alle Elektroden sind vom Gewindestutzen isoliert.

Maßangaben in mm.

Drehmoment bei Befestigung:
 $8,0 \pm 0,5$ cm kp

Kühlblech-Bohrung:
 max. 4,17 mm \varnothing

Die Transistoren werden mit Mutter SW 8,6 x 3,5 geliefert.


Kurzdaten:
BFR 63
BFR 64

Kollektor-Sperrspannung, Scheitelwert

$U_{CB\ 0\ M}$ = max. 40 V

Kollektor-Emitter-Sperrspannung

$U_{CE\ 0}$ = max. 25 V

Kollektorstrom, Scheitelwert

$I_{C\ M}$ = max. 500 mA

Gesamtverlustleistung bei $\theta_G \leq 60^\circ C$

P_{tot} = max. 3,5 W

Sperrsichttemperatur

θ_J = max. 150 °C

Gleichstromverstärkung

bei $U_{CE} = 5$ V, $I_C = 50$ mA

B \geq 25 25

Transit-Frequenz

bei $U_{CE} = 20$ V, $I_C = 75$ mA

f_T \geq 1000 1200 MHz

Ausgangsleistung, Leistungsverstärkung

bei $U_{CE} = 20$ V, $I_C = 70$ mA, $f = 200$ MHz

P_2 = 150 150 mW

V_p = 16 16 dB

bei $U_{CE} = 20$ V, $I_C = 70$ mA, $f = 800$ MHz

P_2 = 90 mW

V_p = 6,5 dB

BFR 63

BFR 64

Absolute Grenzwerte: (gültig bis θ_J max)

Kollektor-Sperrspannung, Scheitelwert

bei $I_E = 0$, $I_C = 100 \mu A$:

$U_{CB\ 0\ M}$ = max. 40 V

Kollektor-Emitter-Sperrspannung, Scheitelwert

bei $R_{BE} = 10 \Omega$, $I_C = 10 \text{ mA}$:

$U_{CE\ R\ M}$ = max. 40 V

Kollektor-Emitter-Sperrspannung

bei $I_B = 0$, $I_C = 10 \text{ mA}$:

$U_{CE\ 0}$ = max. 25 V

Emitter-Sperrspannung

bei $I_C = 0$, $I_E = 100 \mu A$:

$U_{EB\ 0}$ = max. 3,5 V

Kollektorstrom, Mittelwert:

I_{CAV} = max. 200 mA

Kollektorstrom, Scheitelwert bei $f \geq 1 \text{ MHz}$:

I_{CM} = max. 500 mA

Gesamtverlustleistung bei $\theta_G \leq 60^\circ C$, $f \leq 1 \text{ MHz}$:

P_{tot} = max. 3,5 W

Sperrsichttemperatur:

θ_J = max. 150 °C

Lagerungstemperatur:

θ_S = min. -40 °C

θ_S = max. 150 °C

Wärmewiderstand:

zwischen Sperrsicht und Gewindestutzen:

$$R_{th\ G} \leq 25 \text{ K/W}$$

zwischen Gewindestutzen und Kühlblech:

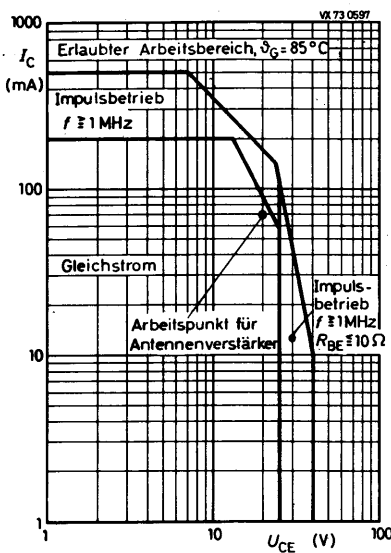
$$R_{th\ G/K} \leq 0,5 \text{ K/W}$$

Warnung

Dieses Bauelement enthält Beryllium-Oxid (BeO), das in fein verteilter Form giftig ist.

Bei bestimmungsgemäßer Verwendung des Bauelements entstehen keine Gefahren.

Ggf. sind entsprechende Sicherheits- und Umweltvorschriften zu beachten.



Kennwerte: (bei $\vartheta_J = 25^\circ\text{C}$, sofern nicht anders angegeben)

		<u>BFR 63</u>	<u>BFR 64</u>
Kollektor-Reststrom			
bei $U_{CB} = 20 \text{ V}$, $I_E = 0$:	$I_{CB \ 0}$	\leq	10 μA
Kollektor-Emitter-Restspannung			
bei $I_C = 100 \text{ mA}$, $I_B = 10 \text{ mA}$:	$U_{CE \ sat}$	\leq	0,75 V
Gleichstromverstärkung			
bei $U_{CE} = 5 \text{ V}$, $I_C = 50 \text{ mA}$:	B	\geq	25
bei $U_{CE} = 5 \text{ V}$, $I_C = 150 \text{ mA}$:	B	\geq	25
Transit-Frequenz			
bei $f_M = 500 \text{ MHz}$			
und $U_{CE} = 20 \text{ V}$, $I_C = 15 \text{ mA}$:	f_T	$=$	1000 MHz
und $U_{CE} = 20 \text{ V}$, $I_C = 75 \text{ mA}$:	f_T	\geq	1000 MHz
und $U_{CE} = 20 \text{ V}$, $I_C = 150 \text{ mA}$:	f_T	$=$	1100 MHz
Kollektorkapazität			
bei $U_{CB} = 20 \text{ V}$, $I_E = 0$, $f = 1 \text{ MHz}$:	C_c	\leq	4,5 pF
Rückwirkungskapazität			
bei $U_{CE} = 20 \text{ V}$, $I_C = 10 \text{ mA}$, $f = 1 \text{ MHz}$, $\vartheta_G = 25^\circ\text{C}$:	$-C_{12e}$	$=$	1,7 pF
Rauschzahl			
bei $U_{CE} = 20 \text{ V}$, $I_C = 40 \text{ mA}$, $f = 200 \text{ MHz}$, $R_g = 75 \Omega$, $\vartheta_G = 25^\circ\text{C}$:	F	$=$	6 dB
Ausgangsleistung			
bei $U_{CE} = 20 \text{ V}$, $I_C = 70 \text{ mA}$, $\vartheta_G = 25^\circ\text{C}$			
und $f = 200 \text{ MHz}$: ¹⁾	P_2	$=$	150 $(\geq 130) \text{ mW}$
und $f = 800 \text{ MHz}$: ²⁾	P_2	$=$	90 $(\geq 70) \text{ mW}$
Leistungsverstärkung (nicht neutralisiert)			
bei $U_{CE} = 20 \text{ V}$, $I_C = 70 \text{ mA}$, $\vartheta_G = 25^\circ\text{C}$			
und $f = 200 \text{ MHz}$:	V_p	$=$	16 $(\geq 15) \text{ dB}$
und $f = 800 \text{ MHz}$:	V_p	$=$	6,5 dB

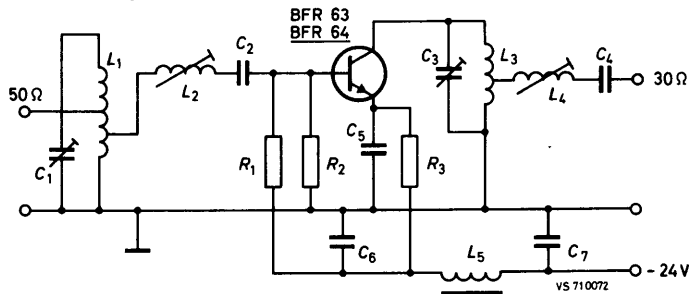
¹⁾ bei einem Intermodulationsabstand $d_{IM} = -30 \text{ dB}$
mit $f_p = 202 \text{ MHz}$, $f_q = 205 \text{ MHz}$, $f_{(2q-p)} = 208 \text{ MHz}$
und einem Welligkeitsfaktor am Ausgang $s_2 \leq 2$

²⁾ bei einem Intermodulationsabstand $d_{IM} = -30 \text{ dB}$
mit $f_p = 798 \text{ MHz}$, $f_q = 802 \text{ MHz}$, $f_{(2q-p)} = 806 \text{ MHz}$
und einem Welligkeitsfaktor am Ausgang $s_2 \leq 2$

BFR 63

BFR 64

Schaltungsbeispiel HF-Leistungsverstärker für f = 200 MHz



$$C_1 \leq 12 \text{ pF}$$

$$C_2 = 3,9 \text{ pF}$$

$$C_3 \leq 12 \text{ pF}$$

$$C_4 = 2,2 \text{ pF}$$

$$C_5 = 1 \text{ nF}$$

$$C_6 = 1,5 \text{ nF}$$

$$C_7 = 1,5 \text{ nF}$$

$$R_1 = 470 \Omega$$

$$R_2 = 1,2 \text{ k}\Omega$$

$$R_3 = 56 \Omega$$

L_1 : 3 Wdg. 1,4 mm Cu versilbert, Innen-Ø 8 mm,
Steigung 2,7 mm, Anzapfungen bei 0,5 und 1,5 Wdg.
vom masseseitigen Ende

L_2 : 5,5 Wdg. 1,4 mm Cu versilbert, Innen-Ø 8 mm,
Steigung 2,2 mm

L_3 : 3 Wdg. 1,4 mm Cu versilbert, Innen-Ø 8 mm,
Steigung 3,3 mm

L_4 : 5,5 Wdg. 1,4 mm Cu versilbert, Innen-Ø 11 mm,
Steigung 2,2 mm

L_5 : FXC-Drossel 4312 020 36700

Intermodulationsverzerrungen ergeben sich durch Begrenzung des HF-Ausgangsstromes und der HF-Ausgangsspannung. Die maximale unverzerrte Ausgangsleistung ($d_{IM}^{\text{HF}} \geq -30 \text{ dB}$) erhält man, wenn Begrenzung von Strom und Spannung gleichzeitig eintreten, d.h. bei

$$R_L = \frac{U_{CE} - U_{CE \text{ sat HF}}}{I_C} \text{ mit } U_{CE \text{ sat HF}} = \text{HF-Kollektor-Emitter-Restspannung}$$

und wenn der HF-Kollektorstrom so klein wie möglich gehalten wird, d.h. bei
 $-C_L = +C_{22e} k'$.

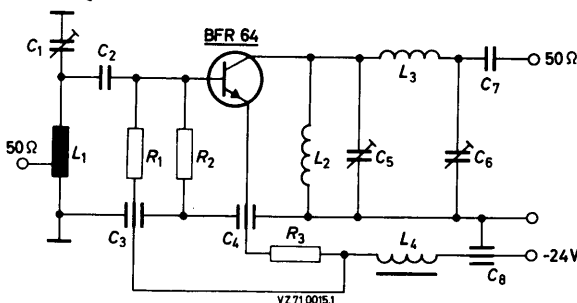
Es ergeben sich $R_L = 220 \Omega$ und $-C_L = 4 \text{ pF}$.

Abgleichverfahren:

Die Kollektor-Emitter-Strecke wird durch eine Parallelschaltung von 220Ω und 4 pF ersetzt und der Ausgangskreis bei $f = 205 \text{ MHz}$ auf $s_2^2 = 1$ abgeglichen.

Bei eingesetztem Transistor wird der Eingangskreis auf maximale Leistungsverstärkung und optimale Durchlaßkurve abgeglichen, s_2^2 ist dann < 2 im gesamten Kanal. Korrekturen können mit L_2 vorgenommen werden.

Schaltungsbispiel HF-Leistungsverstärker für f = 800 MHz



$$C_1 \leq 12 \text{ pF}$$

$$R_1 = 560 \Omega$$

L_1 : versilbertes Kupferband
25 mm x 7 mm x 0,85 mm,
Anzapfung bei 5 mm

$$C_2 = 2,2 \text{ pF}$$

$$R_2 = 1,5 \text{ k}\Omega$$

L_2 : 13 Wdg. 0,6 mm CuL,
Innen-Ø 8 mm

$$C_3 = 470 \text{ pF}$$

$$R_3 = 56 \Omega$$

L_3 : 1,5 Wdg. 1,3 mm Cu,
Innen-Ø 8 mm

$$C_4 \leq 12 \text{ pF}$$

L_4 : FXC-Drossel 4312 020 36700

$$C_5 \leq 12 \text{ pF}$$

$$C_6 \leq 12 \text{ pF}$$

$$C_7 = 1 \text{ pF}$$

$$C_8 = 1,5 \text{ nF}$$

Abgleichverfahren:

Der Abgleich wird mit kleinem Eingangssignal bei $f = 802 \text{ MHz}$ (Kanal-Mittelfrequenz) vorgenommen. Das Signal wird erhöht, bis Begrenzung eintritt, diese durch Abgleich des Ausgangskreises ausgeglichen, bis eine Ausgangsleistung

$$P_2 = \frac{I_C (U_{CE} - U_{CE \text{ sat HF}})}{2} = 480 \text{ mW}$$

erreicht ist.

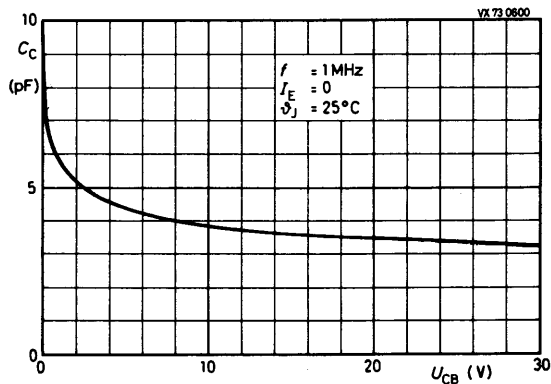
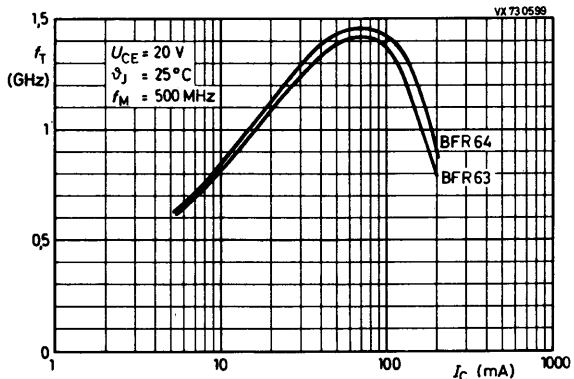
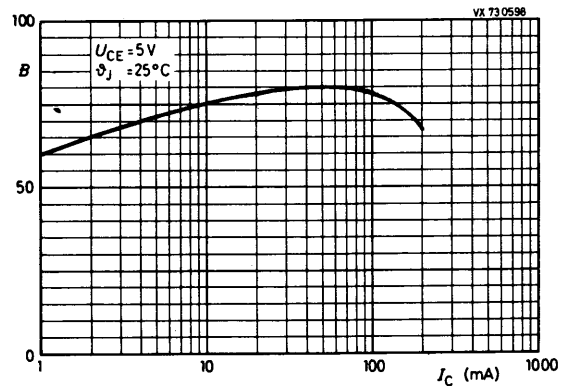
Der Ausgangskreis ist auf optimalen Intermodulationsabstand abgeglichen, wenn

$P_2 = 480 \text{ mW}$ bei möglichst kleinem Eingangssignal erreicht wird.

Danach wird der Eingangskreis auf maximale Leistungsverstärkung und optimale Durchlaßkurve abgeglichen; es ergibt sich dann $s_2 < 2$ im gesamten Kanal.

BFR 63

BFR 64



SILIZIUM - NPN - PLANAR - EPITAXIAL - HF - TRANSISTOR
für Breitbandverstärker

Mechanische Daten:

Gehäuse: Kunststoff
mit Gewinde-
stutzen,
SOT-48/3

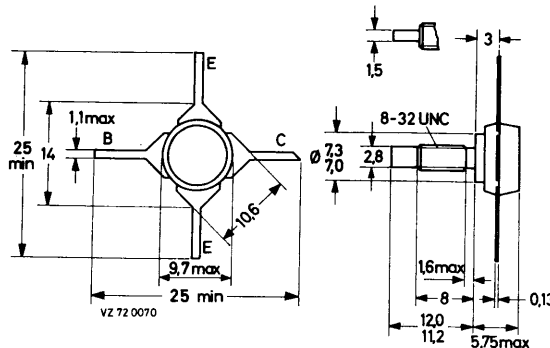
Alle Elektroden sind
vom Gewindestutzen
isoliert.

Maßangaben in mm.

Drehmoment
bei Befestigung:
 $M_D = 8,0 \pm 0,5 \text{ cm kp}$

Kühlblech-Bohrung:
 $\phi = \text{max. } 4,17 \text{ mm}$

Der Transistor wird
mit Mutter SW 8,6 x 3,5
geliefert.



Kurzdaten:

Kollektor-Sperrspannung, Scheitelwert

$U_{CB\ 0\ M} = \text{max. } 40 \text{ V}$

Kollektor-Emitter-Sperrspannung

$U_{CE\ 0} = \text{max. } 25 \text{ V}$

Kollektorstrom, Scheitelwert

$I_{C\ M} = \text{max. } 1 \text{ A}$

Gesamtverlustleistung bei $\theta_G \leq 125^\circ\text{C}$

$P_{tot} = \text{max. } 5 \text{ W}$

Sperrsichttemperatur

$\theta_J = \text{max. } 200^\circ\text{C}$

Gleichstromverstärkung

bei $U_{CE} = 20 \text{ V}, I_C = 200 \text{ mA}$

$B \geq 30$

Transit-Frequenz

bei $U_{CE} = 20 \text{ V}, I_C = 200 \text{ mA}$

$f_T \geq 1200 \text{ MHz}$

Ausgangsleistung

bei $U_{CE} = 20 \text{ V}, I_C = 200 \text{ mA}, f = 200 \text{ MHz}$

$P_2 = 450 \text{ mW}$

Leistungsverstärkung

bei $U_{CE} = 20 \text{ V}, I_C = 200 \text{ mA}, f = 200 \text{ MHz}$

$V_p = 19 \text{ dB}$

bei $U_{CE} = 20 \text{ V}, I_C = 200 \text{ mA}, f = 800 \text{ MHz}$

$V_p = 4,5 \text{ dB}$

BFR 65

Absolute Grenzwerte: (gültig bis θ_J max)

Kollektor-Sperrspannung

bei $I_E = 0$, Scheitelwert:

$$U_{CB\ 0\ M} = \text{max. } 40 \text{ V}$$

Kollektor-Emitter-Sperrspannung

bei $R_{BE} = 10 \Omega$, Scheitelwert:

$$U_{CE\ R\ M} = \text{max. } 40 \text{ V}$$

bei $I_B = 0$:

$$U_{CE\ 0} = \text{max. } 25 \text{ V}$$

Emitter-Sperrspannung bei $I_C = 0$:

$$U_{EB\ 0} = \text{max. } 3,5 \text{ V}$$

Kollektorstrom, Mittelwert:

$$I_{C\ AV} = \text{max. } 400 \text{ mA}$$

Kollektorstrom, Scheitelwert bei $f \geq 1 \text{ MHz}$:

$$I_{C\ M} = \text{max. } 1 \text{ A}$$

Gesamtverlustleistung bei $\theta_G \leq 125^\circ\text{C}$:

$$P_{tot} = \text{max. } 5 \text{ W}$$

Sperrsichttemperatur:

$$\theta_J = \text{max. } 200^\circ\text{C}$$

Lagerungstemperatur:

$$\theta_S = \text{min. } -65^\circ\text{C}$$

$$\theta_S = \text{max. } 200^\circ\text{C}$$

Wärmewiderstand:

zwischen Sperrsicht und Gewindestutzen:

$$R_{th\ G} \leq 15 \text{ K/W}$$

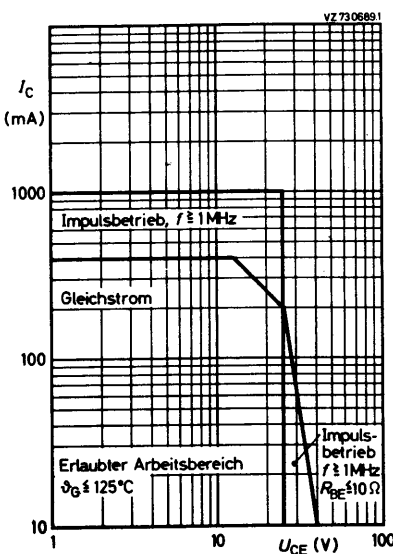
zwischen Gewindestutzen und Kühlblech:

$$R_{th\ G/K} \leq 0,5 \text{ K/W}$$

Warnung

Dieses Bauelement enthält Beryllium-Oxid (BeO), das in fein verteilter Form giftig ist.

Bei bestimmungsgemäßer Verwendung des Bauelements entstehen keine Gefahren. Ggf. sind entsprechende Sicherheits- und Umweltvorschriften zu beachten.



Kennwerte: bei $\theta_J = 25^\circ\text{C}$, sofern nicht anders angegeben

Kollektor-Durchbruchspannung

bei $I_E = 0$, $I_C = 1 \text{ mA}$:

$$U_{(\text{BR}) \text{ CB } 0} \geq 40 \text{ V}$$

Kollektor-Emitter-Durchbruchspannung

bei $R_{\text{BE}} = 10 \Omega$, $I_C = 5 \text{ mA}$:

$$U_{(\text{BR}) \text{ CE R}} \geq 40 \text{ V}$$

bei $I_B = 0$, $I_C = 5 \text{ mA}$:

$$U_{(\text{BR}) \text{ CE } 0} \geq 25 \text{ V}$$

Emitter-Durchbruchspannung

bei $I_C = 0$, $I_E = 1 \text{ mA}$:

$$U_{(\text{BR}) \text{ EB } 0} \geq 3,5 \text{ V}$$

Kollektor-Reststrom

bei $U_{\text{CB}} = 20 \text{ V}$, $I_E = 0$:

$$I_{\text{CB } 0} \leq 100 \mu\text{A}$$

Kollektor-Emitter-Restspannung

bei $I_C = 200 \text{ mA}$, $I_B = 20 \text{ mA}$:

$$U_{\text{CE sat}} \leq 0,75 \text{ V}$$

Gleichstromverstärkung

bei $U_{\text{CE}} = 20 \text{ V}$, $I_C = 200 \text{ mA}$:

$$B > 30$$

bei $U_{\text{CE}} = 20 \text{ V}$, $I_C = 400 \text{ mA}$:

$$B \geq 20$$

Transit-Frequenz

bei $U_{\text{CE}} = 20 \text{ V}$, $I_C = 200 \text{ mA}$, $f_M = 500 \text{ MHz}$:

$$f_T \geq 1200 \text{ MHz}$$

bei $U_{\text{CE}} = 20 \text{ V}$, $I_C = 400 \text{ mA}$, $f_M = 500 \text{ MHz}$:

$$f_T \geq 1000 \text{ MHz}$$

Rückwirkungskapazität

bei $U_{\text{CE}} = 20 \text{ V}$, $I_C = 10 \text{ mA}$, $f = 1 \text{ MHz}$

$$-C_{12e} = 3,5 \text{ pF}$$

und $\theta_G = 25^\circ\text{C}$:

Kollektorkapazität

bei $U_{\text{CB}} = 20 \text{ V}$, $I_E = 0$, $f = 1 \text{ MHz}$:

$$C_c \leq 10 \text{ pF}$$

Kapazität Kollektor / Gehäuse:

$$C_{C/G} = 2 \text{ pF}$$

Ausgangsleistung ¹⁾

bei $U_{\text{CE}} = 20 \text{ V}$, $I_C = 200 \text{ mA}$, $f = 200 \text{ MHz}$

$$P_2 = 450 \text{ mW}$$

und $\theta_G = 25^\circ\text{C}$:

Leistungsverstärkung (nicht neutralisiert)

bei $U_{\text{CE}} = 20 \text{ V}$, $I_C = 200 \text{ mA}$, $\theta_G = 25^\circ\text{C}$

$$V_p = 19 (\geq 15) \text{ dB}$$

und $f = 200 \text{ MHz}$:

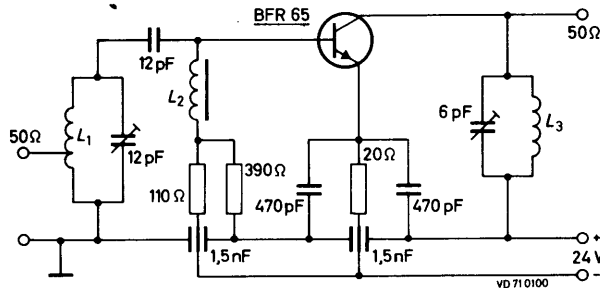
$$V_p = 4,5 \text{ dB}$$

und $f = 800 \text{ MHz}$:

¹⁾ bei einem Intermodulationsabstand $d_{IM} = -30 \text{ dB}$
mit $f_p = 202 \text{ MHz}$, $f_q = 205 \text{ MHz}$, $f_{(2q-p)} = 208 \text{ MHz}$
und einem Welligkeitsfaktor am Ausgang $s_2 \leq 2$

BFR 65

Schaltungsbeispiel HF - Verstärker für f = 200 MHz:



L₁: 1 Wdg. versilberter Cu-Draht, 1,4 mm Ø,
Innen-Ø 8 mm, Anzapfung bei 1/4 Wdg. vom masseseitigen Ende

L₂: FXC-Drossel 3122 108 20150, 5,5 µH

L₃: 3 Wdgn. versilberter Cu-Draht 1,4 mm Ø,
Innen-Ø 8 mm, Steigung 2,7 mm

Intermodulationsverzerrungen ergeben sich durch Begrenzung von HF - Ausgangsspannung und -strom. Die maximale unverzerrte Ausgangsleistung erhält man, wenn Begrenzung von Spannung und Strom gleichzeitig auftreten, d.h. bei
 $R_L = (U_{CE} - U_{CE \text{ sat HF}})/I_C$ mit $U_{CE \text{ sat HF}} = \text{HF-Kollektor-Emitter-Restspannung}$ und wenn der Kollektorstrom so klein wie möglich gehalten wird, d.h. bei

$$-C_L = +C_{22e} k'$$

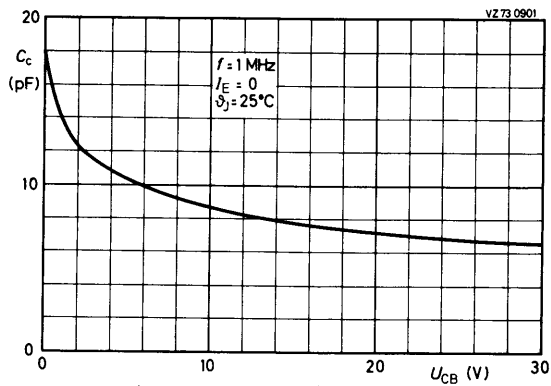
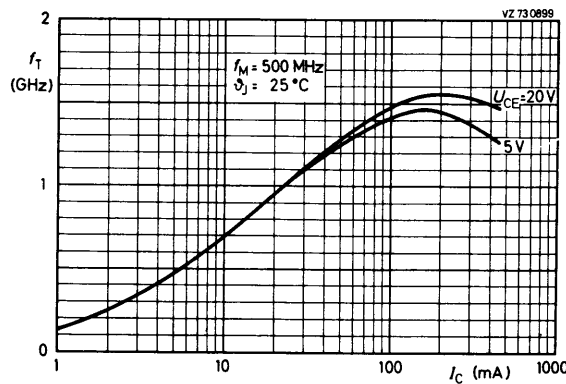
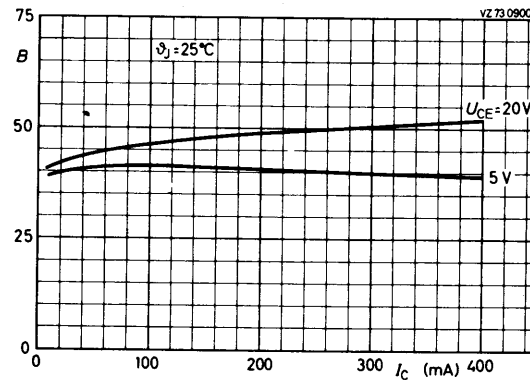
Für maximale Ausgangsleistung bei $d_{IM} = -30 \text{ dB}$ ergeben sich

$$R_L = 51 \Omega \text{ und } C_L = -8,2 \text{ pF.}$$

Abgleichverfahren:

Die Kollektor-Emitter-Strecke des Transistors wird durch eine Parallelschaltung von 51Ω und $8,2 \text{ pF}$ ersetzt und der Ausgangskreis bei $f = 205 \text{ MHz}$ auf $s_2 = 1$ abgeglichen.

Bei eingesetztem Transistor wird der Eingangskreis auf maximale Leistungsverstärkung und optimale Durchlaßkurve abgeglichen, s_2 ist dann < 2 im gesamten Kanal.



BFR 92 A(R)

Rauscharmer
 SILIZIUM - NPN - PLANAR - EPITAXIAL - HF - TRANSISTOR
 für Breitbandverstärker

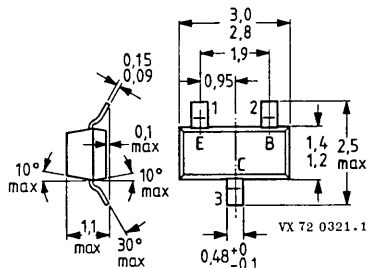
Mechanische Daten:

Gehäuse: Kunststoff, SOT-23
 23 A 3 DIN 41 869

Stempel: BFR 92 A: P 2
 BFR 92 AR: P 5

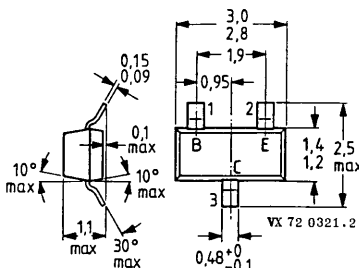
Maßangaben in mm:

BFR 92 A:



Draufsicht

BFR 92 AR:



Draufsicht

Kurzdaten:

Kollektor-Sperrspannung

$U_{CB\ 0}$ = max. 20 V

Kollektor-Emitter-Sperrspannung

$U_{CE\ 0}$ = max. 15 V

Kollektorstrom, Mittelwert

$I_C\ AV$ = max. 25 mA

Gesamtverlustleistung bei $\theta_U \leq 60^\circ\text{C}$

P_{tot} = max. 200 mW

Sperrschiichttemperatur

θ_J = max. 150 °C

Transit-Frequenz

bei $U_{CE} = 10$ V, $I_C = 14$ mA $f_T = 5$ GHz

Erzielbare Leistungsverstärkung

bei $U_{CE} = 10$ V, $I_C = 14$ mA, $f = 800$ MHz $V_p\ opt = 16$ dB

Ausgangsspannung

bei 60 dB Intermodulationsabstand

bei $U_{CE} = 10$ V, $I_C = 14$ mA, $f \approx 800$ MHz $U_o = 150$ mV

Rauschzahl

bei $U_{CE} = 10$ V, $I_C = 4$ mA, $f = 800$ MHz $F = 1,8$ dB

BFR 92A(R)

Absolute Grenzwerte: (gültig bis θ_J max)

Kollektor-Sperrspannung bei $I_E = 0$:

$$U_{CB\ 0} = \text{max. } 20 \text{ V}$$

Kollektor-Emitter-Sperrspannung bei $I_B = 0$:

$$U_{CE\ 0} = \text{max. } 15 \text{ V}$$

Emitter-Sperrspannung bei $I_C = 0$:

$$U_{EB\ 0} = \text{max. } 2 \text{ V}$$

Kollektorstrom, Mittelwert:

$$I_{C\ AV} = \text{max. } 25 \text{ mA}$$

Gesamtverlustleistung bei $\theta_U \leq 60^\circ\text{C}$: ¹⁾

$$P_{tot} = \text{max. } 200 \text{ mW}$$

Sperrsichttemperatur: ²⁾

$$\theta_J = \text{max. } 150^\circ\text{C}$$

Lagerungstemperatur:

$$\theta_S = \text{min. } -65^\circ\text{C}$$

$$\theta_S = \text{max. } 150^\circ\text{C}$$

Wärmewiderstand: ²⁾

zwischen Sperrsicht und Anschlüssen:

$$R_{th\ J/A} = 60 \text{ K/W}$$

zwischen Anschlüssen und Lötflächen:

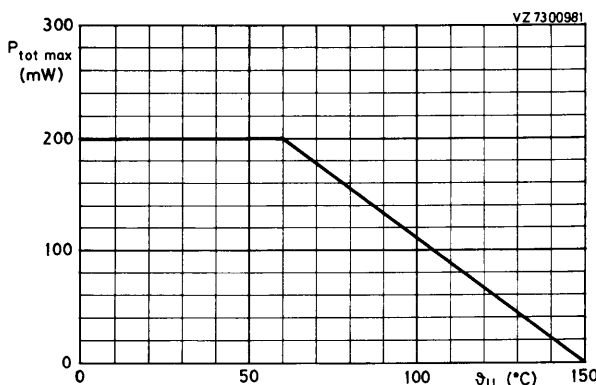
$$R_{th\ A/L} = 280 \text{ K/W}$$

zwischen Lötflächen und Umgebung: ¹⁾

$$R_{th\ L/U} = 90 \text{ K/W}$$

¹⁾ Transistor auf Keramik-Substrat von 8 mm x 10 mm x 0,7 mm

²⁾ $\theta_J = P_{tot} (R_{th\ J/A} + R_{th\ A/L} + R_{th\ L/U}) + \theta_U$



BFR 92 A(R)

Kennwerte: bei $\theta_J = 25^\circ\text{C}$, sofern nicht anders angegeben

Kollektor-Reststrom bei $I_E = 0$, $U_{CB} = 10 \text{ V}$: $I_{CB\ 0} \leq 60 \text{ nA}$

Gleichstromverstärkung bei $U_{CE} = 10 \text{ V}$, $I_C = 14 \text{ mA}$: $B = 90 (\geq 40)$

Transit-Frequenz

bei $U_{CE} = 10 \text{ V}$, $I_C = 14 \text{ mA}$, $f_M = 500 \text{ MHz}$:

$f_T = 5 \text{ GHz}$

Kollektorkapazität

bei $U_{CB} = 10 \text{ V}$, $I_E = 0$, $f = 1 \text{ MHz}$:

$C_c = 0,6 \text{ pF}$

Emitterkapazität

bei $U_{EB} = 0,5 \text{ V}$, $I_C = 0$, $f = 1 \text{ MHz}$:

$C_e = 1,2 \text{ pF}$

Rückwirkungskapazität

bei $U_{CE} = 10 \text{ V}$, $I_C = 0$, $f = 1 \text{ MHz}$, $\theta_U = 25^\circ\text{C}$:

$C_{12e} = 0,35 \text{ pF}$

Rauschzahl bei $U_{CE} = 10 \text{ V}$, $I_C = 4 \text{ mA}$, $\theta_U = 25^\circ\text{C}$

und $R_g = 60 \Omega$, $f = 800 \text{ MHz}$:

$F = 1,8 \text{ dB}$

Erzielbare Leistungsverstärkung.

bei $U_{CE} = 10 \text{ V}$, $I_C = 14 \text{ mA}$, $\theta_U = 25^\circ\text{C}$

und $f = 800 \text{ MHz}$:

$V_p\ opt = 16 \text{ dB}$

Ausgangsspannung

bei Intermodulationsabstand $d_{IM} = -60 \text{ dB}$
(DIN 45 004 B, Dreiton)

bei $U_{CE} = 10 \text{ V}$, $I_C = 14 \text{ mA}$, $R_L = 75 \Omega$, $s < 2$, $\theta_U = 25^\circ\text{C}$

mit $U_p = U_o$ bei $d_{IM} = -60 \text{ dB}$ bei $f_p = 795,25 \text{ MHz}$,

$U_q = U_o - 6 \text{ dB}$ bei $f_q = 803,25 \text{ MHz}$,

$U_r = U_o - 6 \text{ dB}$ bei $f_r = 805,25 \text{ MHz}$,

gemessen bei $f_{(p+q-r)} = 793,25 \text{ MHz}$:

$U_o = 150 \text{ mV}$

Abstand der 2. Harmonischen

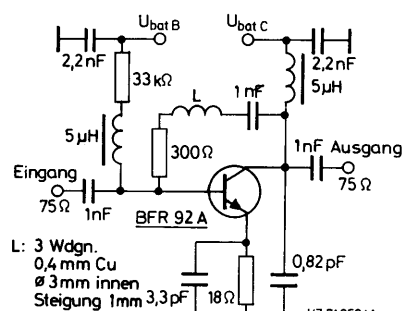
bei $U_{CE} = 10 \text{ V}$, $I_C = 14 \text{ mA}$, $R_L = 75 \Omega$, $s < 2$

und $\theta_U = 25^\circ\text{C}$, gemessen bei $f_{(p+q)} = 810 \text{ MHz}$:

$d_2 = -50 \text{ dB}$

($U_p = 60 \text{ mV}$ bei $f_p = 250 \text{ MHz}$)

($U_q = 60 \text{ mV}$ bei $f_q = 560 \text{ MHz}$)



BFR 92A(R)

s - Parameter, Emitterschaltung

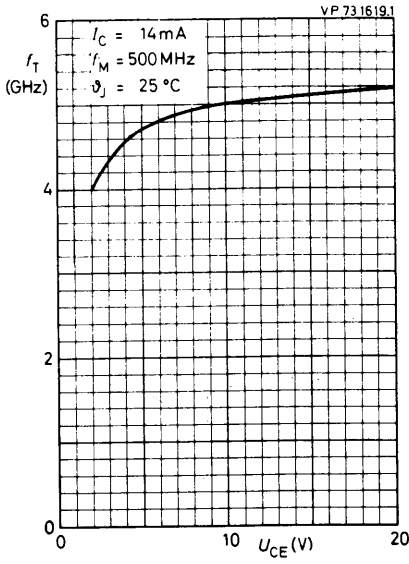
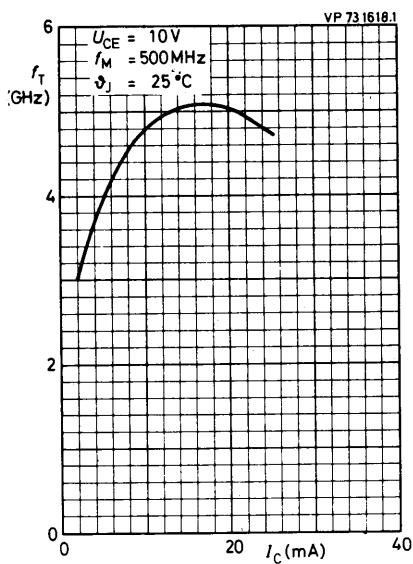
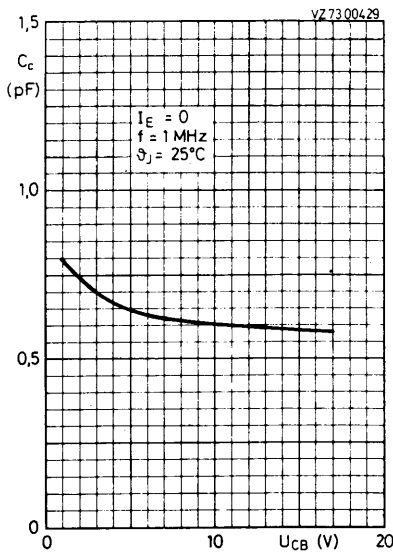
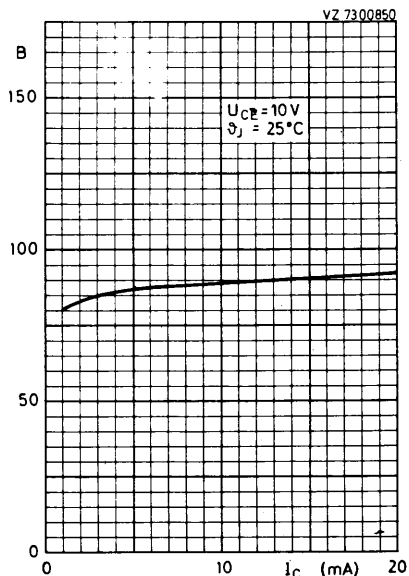
Arbeitspunkt	Frequ.	Eingangs-Reflexionsfaktor	Rückwärts-Übertragungs-faktor	Vorwärts-Übertragungs-faktor	Ausgangs-Reflexionsfaktor	
U_{CE} (V)	I_C (mA)	f (MHz)	s_{11e}	s_{12e}	s_{21e}	s_{22e}
5	2	40	0,88/-8,9°	0,009/83,6°	6,7/174,2°	1,00/-2,7°
		100	0,86/-21,9°	0,022/78,3°	6,5/164,2°	0,98/-6,6°
		200	0,80/-42,2°	0,041/69,0°	6,0/149,2°	0,94/-12,2°
		500	0,61/-87,2°	0,073/54,9°	4,2/119,1°	0,81/-20,2°
		800	0,48/-117,4°	0,086/52,7°	3,1/100,5°	0,74/-22,9°
		1000	0,44/-133,8°	0,092/54,2°	2,6/ 91,4°	0,71/-24,2°
		1200	0,41/-147,6°	0,099/57,5°	2,2/ 84,3°	0,70/-25,7°
5	5	40	0,75/-14,4°	0,008/81,8°	14,4/170,2°	0,99/-4,9°
		100	0,70/-34,0°	0,020/74,2°	13,3/155,3°	0,94/-11,2°
		200	0,60/-61,7°	0,034/65,0°	10,9/135,8°	0,84/-17,9°
		500	0,40/-111,1°	0,057/61,1°	6,2/106,9°	0,67/-21,9°
		800	0,32/-139,7°	0,074/65,5°	4,2/ 92,4°	0,62/-22,2°
		1000	0,30/-153,2°	0,086/68,2°	3,4/ 85,3°	0,61/-22,8°
		1200	0,29/-166,2°	0,100/70,9°	2,9/ 79,6°	0,60/-24,0°
5	10	40	0,61/-21,1°	0,008/79,7°	22,9/165,2°	0,97/-7,3°
		100	0,54/-48,5°	0,017/71,4°	19,8/145,8°	0,88/-15,5°
		200	0,42/-82,1°	0,028/65,2°	14,4/124,7°	0,74/-20,8°
		500	0,30/-132,3°	0,050/69,0°	7,1/ 99,6°	0,59/-20,5°
		800	0,26/-158,0°	0,072/73,7°	4,7/ 87,8°	0,56/-20,3°
		1000	0,25/-168,3°	0,088/75,2°	3,8/ 82,2°	0,56/-20,9°
		1200	0,25/-179,3°	0,104/76,6°	3,2/ 77,5°	0,55/-22,1°
5	14	40	0,53/-26,0°	0,007/78,6°	27,7/162,4°	0,96/-8,7°
		100	0,45/-58,1°	0,016/70,5°	22,6/140,7°	0,85/-17,2°
		200	0,36/-94,4°	0,025/66,6°	15,6/119,7°	0,70/-21,0°
		500	0,27/-142,8°	0,049/72,5°	7,3/ 96,9°	0,57/-19,1°
		800	0,25/-166,0°	0,072/76,5°	4,7/ 86,1°	0,55/-19,1°
		1000	0,24/-174,8°	0,088/77,4°	3,8/ 80,5°	0,55/-19,9°
		1200	0,24/-174,8°	0,105/78,4°	3,2/ 76,2°	0,54/-21,3°
5	20	40	0,45/-33,1°	0,007/77,0°	32,3/158,8°	0,94/-10,1°
		100	0,38/-71,8°	0,015/69,5°	24,7/135,0°	0,80/-18,4°
		200	0,31/-110,6°	0,023/68,3°	16,0/114,6°	0,66/-20,1°
		500	0,26/-154,5°	0,047/75,5°	7,2/ 94,3°	0,56/-17,3°
		800	0,25/-174,2°	0,071/78,7°	4,7/ 84,3°	0,55/-17,8°
		1000	0,25/-178,5°	0,088/79,3°	3,7/ 79,1°	0,54/-18,9°
		1200	0,26/-169,9°	0,104/80,0°	3,2/ 74,9°	0,54/-20,5°

BFR 92A(R)

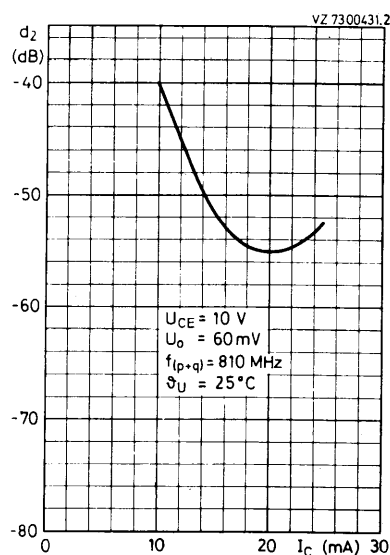
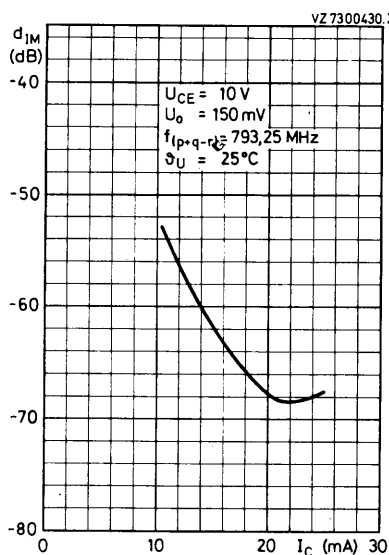
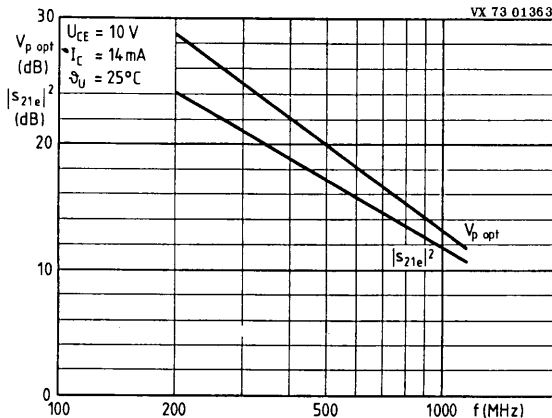
s - Parameter, Emitterschaltung

Arbeitspunkt	Frequ.	Eingangs-Reflexionsfaktor	Rückwärts-Übertragungsfaktor	Vorwärts-Übertragungsfaktor	Ausgangs-Reflexionsfaktor	
U_{CE} (V)	I_C (mA)	f (MHz)	s_{11e}	s_{12e}	s_{21e}	s_{22e}
10	2	40	0,89/-8,7°	0,008/83,6°	6,8/174,4°	1,00/-2,5°
		100	0,86/-21,2°	0,021/78,5°	6,5/164,6°	0,98/-6,1°
		200	0,80/-40,9°	0,038/69,5°	6,0/149,6°	0,94/-11,3°
		500	0,61/-85,3°	0,069/55,8°	4,3/119,8°	0,82/-18,7°
		800	0,48/-115,4°	0,081/53,8°	3,1/101,2°	0,75/-21,3°
		1000	0,44/-131,4°	0,086/55,5°	2,6/ 92,1°	0,73/-22,5°
		1200	0,40/-145,6°	0,093/58,9°	2,2/ 85,0°	0,72/-23,9°
10	5	40	0,77/-13,6°	0,008/81,8°	14,2/170,5°	0,99/-4,5°
		100	0,73/-32,3°	0,019/74,7°	13,2/155,8°	0,95/-10,3°
		200	0,62/-58,8°	0,032/65,6°	11,0/136,8°	0,85/-16,6°
		500	0,41/-107,2°	0,054/61,4°	6,3/107,7°	0,69/-20,4°
		800	0,32/-135,9°	0,071/65,9°	4,2/ 92,9°	0,64/-20,8°
		1000	0,30/-150,0°	0,082/68,6°	3,5/ 86,1°	0,63/-21,3°
		1200	0,28/-162,9°	0,095/71,5°	2,9/ 80,5°	0,62/-22,4°
10	10	40	0,66/-19,4°	0,007/80,1°	22,5/165,9°	0,97/-6,6°
		100	0,58/-44,7°	0,017/71,8°	19,5/147,0°	0,90/-14,1°
		200	0,45/-76,2°	0,027/65,4°	14,5/126,0°	0,76/-19,3°
		500	0,29/-125,1°	0,049/68,7°	7,2/100,6°	0,62/-19,2°
		800	0,24/-151,8°	0,070/73,5°	4,7/ 88,8°	0,59/-19,0°
		1000	0,24/-162,9°	0,084/75,2°	3,8/ 82,6°	0,58/-19,7°
		1200	0,23/-174,8°	0,099/76,8°	3,2/ 78,3°	0,58/-20,9°
10	14	40	0,60/-23,2°	0,007/78,6°	27,2/163,0°	0,96/-7,9°
		100	0,51/-52,5°	0,016/70,6°	22,6/141,8°	0,86/-15,8°
		200	0,38/-86,2°	0,025/66,4°	15,7/120,7°	0,72/-19,6°
		500	0,26/-134,3°	0,047/72,0°	7,5/ 97,8°	0,60/-18,0°
		800	0,22/-159,3°	0,069/76,2°	4,8/ 86,8°	0,57/-18,0°
		1000	0,22/-169,0°	0,085/77,3°	3,9/ 81,3°	0,57/-18,7°
		1200	0,22/ 179,8°	0,100/78,5°	3,3/ 76,8°	0,57/-20,1°
10	20	40	0,54/-28,2°	0,007/77,4°	31,7/159,9°	0,95/-9,1°
		100	0,45/-61,7°	0,015/69,5°	24,7/136,8°	0,82/-16,8°
		200	0,33/-97,5°	0,023/67,5°	16,3/116,2°	0,68/-18,8°
		500	0,24/-143,7°	0,046/74,4°	7,4/ 95,3°	0,59/-16,4°
		800	0,22/-166,4°	0,069/78,0°	4,8/ 85,2°	0,57/-16,9°
		1000	0,22/-174,7°	0,084/78,7°	3,8/ 80,1°	0,57/-17,8°
		1200	0,22/ 176,3°	0,100/79,7°	3,3/ 76,0°	0,57/-19,4°

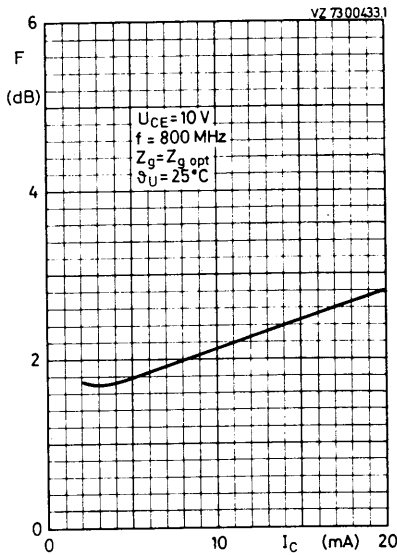
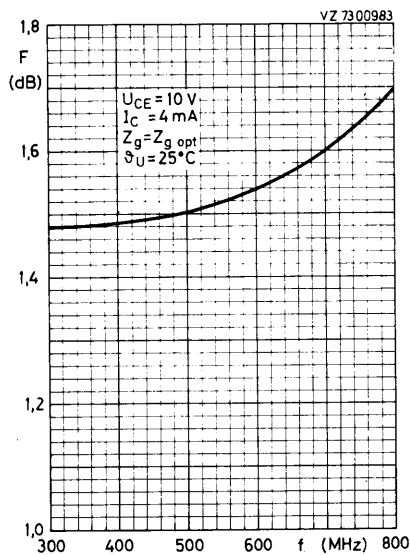
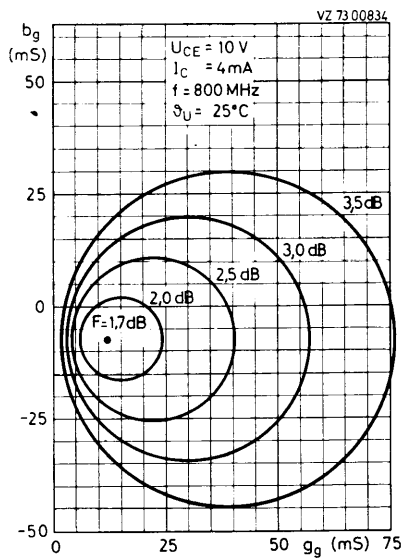
BFR 92A(R)



BFR 92 A(R)



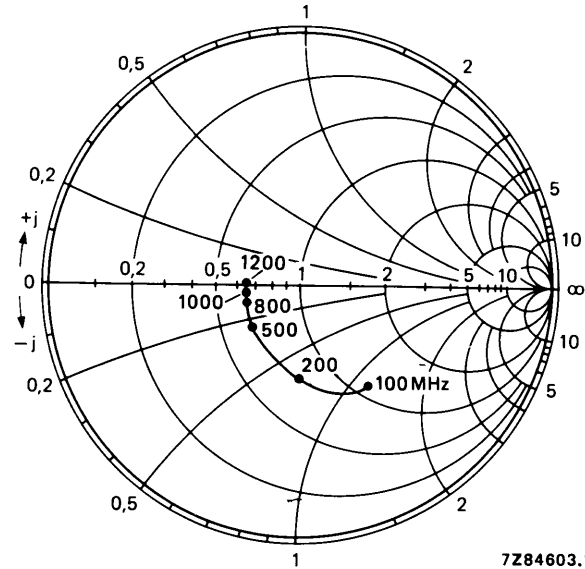
BFR 92A(R)



BFR 92A(R)

Eingangsimpedanz

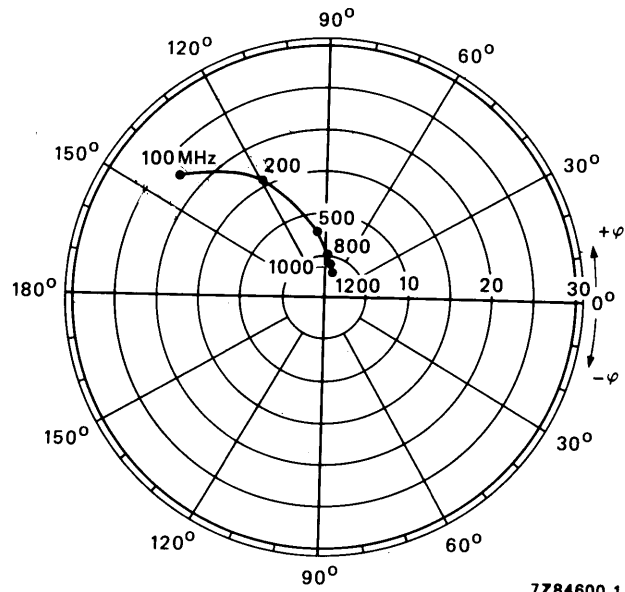
abgeleitet aus s_{11e}
normiert auf 50Ω ,
bei $U_{CE} = 10 \text{ V}$
 $I_C = 14 \text{ mA}$
 $\vartheta_U = 25^\circ \text{ C}$



Vorwärts-

Übertragungsfaktor s_{21e}

bei $U_{CE} = 10 \text{ V}$
 $I_C = 14 \text{ mA}$
 $\vartheta_U = 25^\circ \text{ C}$



BFR 92A(R)

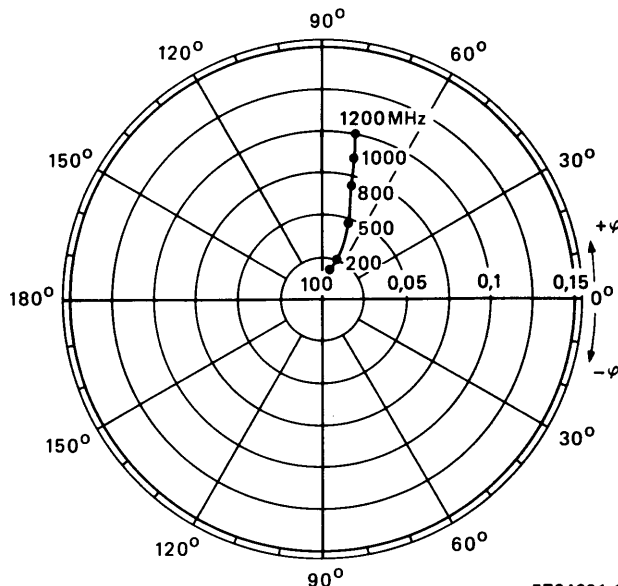
Rückwärts-

Übertragungsfaktor s_{12e}

bei $U_{CE} = 10$ V

$I_C = 14$ mA

$\vartheta_U = 25$ °C



7Z84601.1

Ausgangsimpedanz

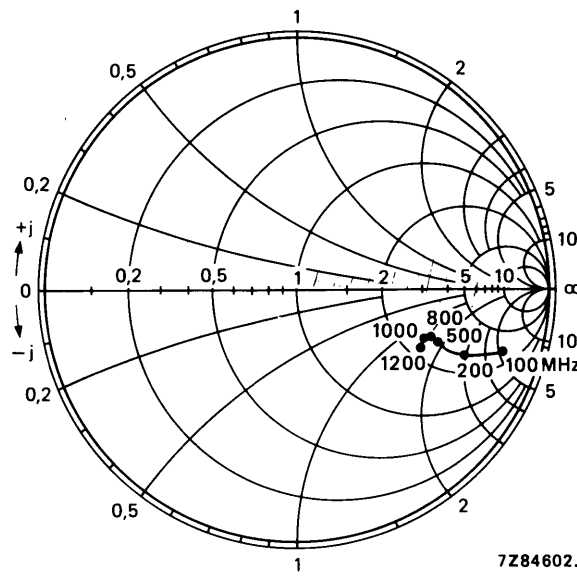
abgeleitet aus s_{22e}

normiert auf 50 Ω,

bei $U_{CE} = 10$ V

$I_C = 14$ mA

$\vartheta_U = 25$ °C



7Z84602.1

BFR 93A(R)

Rauscharmer
 SILIZIUM - NPN - PLANAR - EPITAXIAL - HF - TRANSISTOR
 für Breitbandverstärker

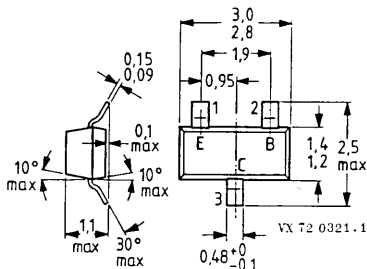
Mechanische Daten:

Gehäuse: Kunststoff, SOT-23
 23 A 3 DIN 41 869

Stempel: BFR 93 A: R 2
 BFR 93 AR: R 5

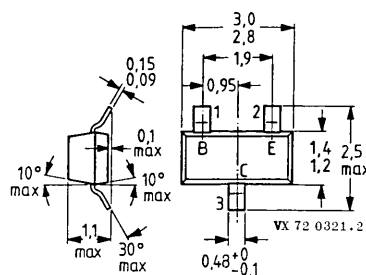
Maßangaben in mm:

BFR 93 A:



Draufsicht

BFR 93 AR:



Draufsicht

Kurzdaten:

Kollektor-Sperrspannung

$U_{CB\ 0}$ = max. 15 V

Kollektor-Emitter-Sperrspannung

$U_{CE\ 0}$ = max. 12 V

Kollektorstrom, Mittelwert

$I_C\ AV$ = max. 35 mA

Gesamtverlustleistung bei $\theta_U \leq 45^\circ C$

P_{tot} = max. 250 mW

Sperrschiichttemperatur

θ_J = max. 150 $^\circ C$

Transit-Frequenz

bei $U_{CE} = 5$ V, $I_C = 30$ mA

f_T = 5 GHz

Erzielbare Leistungsverstärkung

bei $U_{CE} = 8$ V, $I_C = 30$ mA, $f = 800$ MHz

$V_p\ opt$ = 14 dB

Ausgangsspannung

bei 60 dB Intermodulationsabstand

bei $U_{CE} = 8$ V, $I_C = 30$ mA, $f \approx 800$ MHz

U_o = 425 mV

Rauschzahl

bei $U_{CE} = 8$ V, $I_C = 4$ mA, $f = 800$ MHz

F = 1,6 dB

BFR 93A(R)

Absolute Grenzwerte: (gültig bis θ_J max)

Kollektor-Sperrspannung bei $I_E = 0$:

$$U_{CB\ 0} = \text{max. } 15 \text{ V}$$

Kollektor-Emitter-Sperrspannung bei $I_B = 0$:

$$U_{CE\ 0} = \text{max. } 12 \text{ V}$$

Emitter-Sperrspannung bei $I_C = 0$:

$$U_{EB\ 0} = \text{max. } 2 \text{ V}$$

Kollektorstrom, Mittelwert:

$$I_{C\ AV} = \text{max. } 35 \text{ mA}$$

Gesamtverlustleistung bei $\theta_U \leq 45^\circ\text{C}$: ¹⁾

$$P_{tot} = \text{max. } 250 \text{ mW}$$

Sperrsichttemperatur: ²⁾

$$\theta_J = \text{max. } 150^\circ\text{C}$$

Lagerungstemperatur:

$$\theta_S = \text{min. } -65^\circ\text{C}$$

$$\theta_S = \text{max. } 150^\circ\text{C}$$

Wärmewiderstand: ²⁾

zwischen Sperrsicht und Anschlüssen:

$$R_{th\ J/A} = 50 \text{ K/W}$$

zwischen Anschlüssen und Lötflächen:

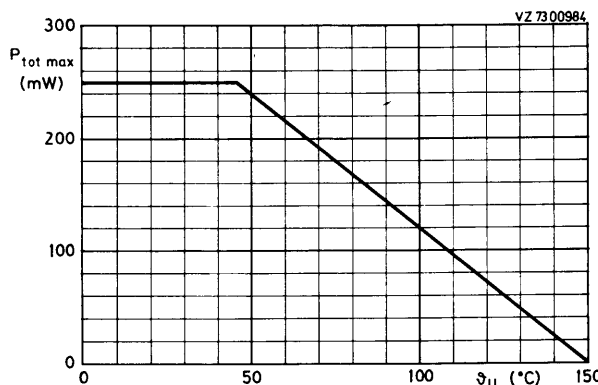
$$R_{th\ A/L} = 280 \text{ K/W}$$

zwischen Lötflächen und Umgebung: ¹⁾

$$R_{th\ L/U} = 90 \text{ K/W}$$

¹⁾ Transistor auf Keramik-Substrat von 8 mm x 10 mm x 0,7 mm

²⁾ $\theta_J = P_{tot} (R_{th\ J/A} + R_{th\ A/L} + R_{th\ L/U}) + \theta_U$



Kennwerte: bei $\theta_J = 25^\circ\text{C}$, sofern nicht anders angegeben

Kollektor-Reststrom bei $I_E = 0$, $U_{CB} = 5 \text{ V}$: $I_{CB\ 0} \leq 50 \text{ nA}$

Gleichstromverstärkung bei $U_{CE} = 5 \text{ V}$, $I_C = 30 \text{ mA}$: $B = 90 (\geq 40)$

Transit-Frequenz bei $U_{CE} = 5 \text{ V}$, $I_C = 30 \text{ mA}$, $f_M = 500 \text{ MHz}$: $f_T = 5 \text{ GHz}$

Kollektorkapazität bei $U_{CB} = 5 \text{ V}$, $I_E = 0$, $f = 1 \text{ MHz}$: $C_c = 0,7 \text{ pF}$

Emitterkapazität bei $U_{EB} = 0,5 \text{ V}$, $I_C = 0$, $f = 1 \text{ MHz}$: $C_e = 1,9 \text{ pF}$

Rückwirkungskapazität bei $U_{CE} = 5 \text{ V}$, $I_C = 0$, $f = 1 \text{ MHz}$, $\theta_U = 25^\circ\text{C}$: $C_{12e} = 0,6 \text{ pF}$

Rauschzahl bei $U_{CE} = 8 \text{ V}$, $R_g = R_{g\ opt}$, $\theta_U = 25^\circ\text{C}$ und $f = 800 \text{ MHz}$, $I_C = 4 \text{ mA}$: $F = 1,6 \text{ dB}$

und $f = 800 \text{ MHz}$, $I_C = 30 \text{ mA}$: $F = 2,3 \text{ dB}$

Erzielbare Leistungsverstärkung bei $U_{CE} = 8 \text{ V}$, $I_C = 30 \text{ mA}$, $\theta_U = 25^\circ\text{C}$, $f = 800 \text{ MHz}$: $V_{p\ opt} = 14 \text{ dB}$

Ausgangsspannung bei Intermodulationsabstand $d_{IM} = -60 \text{ dB}$ (DIN 45 004 B, Dreiton)

bei $U_{CE} = 8 \text{ V}$, $I_C = 30 \text{ mA}$, $R_L = 75 \Omega$, $\theta_U = 25^\circ\text{C}$ mit $U_p = U_o$ bei $d_{IM} = -60 \text{ dB}$ bei $f_p = 795,25 \text{ MHz}$,

$U_q = U_o - 6 \text{ dB}$ bei $f_q = 803,25 \text{ MHz}$,

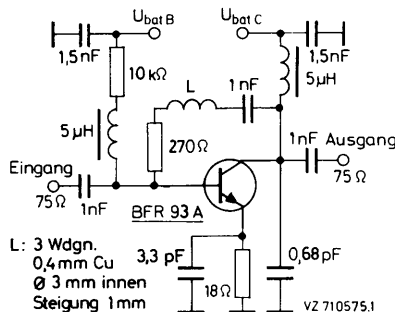
$U_r = U_o - 6 \text{ dB}$ bei $f_r = 805,25 \text{ MHz}$,

gemessen bei $f_{(p+q-r)} = 793,25 \text{ MHz}$: $U_o = 425 \text{ mV}$

Abstand der 2. Harmonischen bei $U_{CE} = 8 \text{ V}$, $I_C = 30 \text{ mA}$, $R_L = 75 \Omega$, $\theta_U = 25^\circ\text{C}$, gemessen bei $f_{(p+q)} = 810 \text{ MHz}$: $d_2 = -50 \text{ dB}$

($U_p = 200 \text{ mV}$ bei $f_p = 250 \text{ MHz}$)

($U_q = 200 \text{ mV}$ bei $f_q = 560 \text{ MHz}$)



BFR 93A(R)

s - Parameter, Emitterschaltung

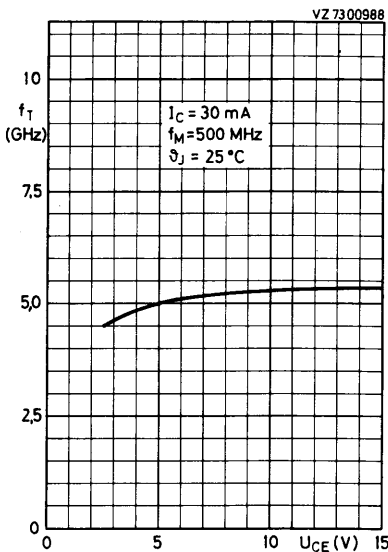
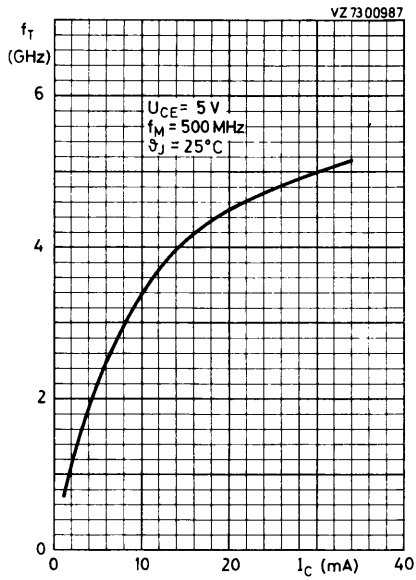
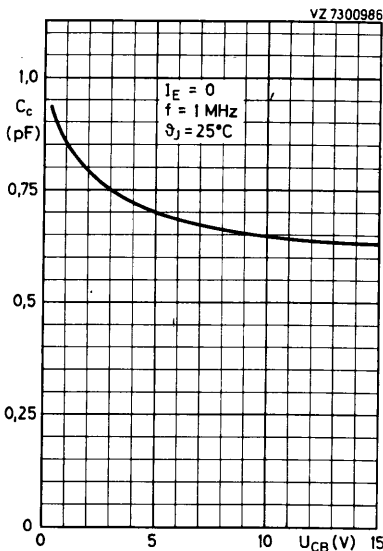
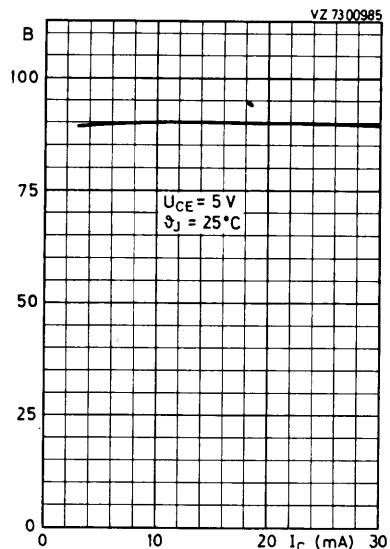
Arbeitspunkt		Frequ.	Eingangs-Reflexionsfaktor s _{11e}	Rückwärts-Übertragungs-faktor s _{12e}	Vorwärts-Übertragungs-faktor s _{21e}	Ausgangs-Reflexionsfaktor s _{22e}
U _{CE} (V)	I _C (mA)	f (MHz)				
5	2	40	0,89/-12,4°	0,016/82,3°	7,0/171,8°	0,88/-4,8°
		100	0,87/-30,1°	0,038/74,2°	6,7/160,1°	0,96/-11,3°
		200	0,80/-56,3°	0,067/61,8°	6,0/142,3°	0,88/-20,1°
		500	0,64/-109,5°	0,106/44,3°	3,8/110,6°	0,69/-31,9°
		800	0,57/-140,3°	0,116/41,8°	2,7/ 91,5°	0,60/-35,5°
		1000	0,54/-154,5°	0,119/43,9°	2,2/ 82,8°	0,58/-38,0°
		1200	0,53/-166,6°	0,124/48,2°	1,9/ 75,1°	0,56/-40,2°
5	5	40	0,77/-19,9°	0,015/79,4°	15,1/166,8°	0,97/-8,8°
		100	0,72/-46,9°	0,033/68,6°	13,5/149,7°	0,89/-19,6°
		200	0,62/-81,4°	0,053/57,0°	10,5/128,5°	0,73/-30,3°
		500	0,48/-134,4°	0,079/52,6°	5,5/100,5°	0,51/-37,3°
		800	0,45/-159,8°	0,099/57,8°	3,6/ 85,6°	0,44/-37,9°
		1000	0,44/-170,8°	0,114/61,0°	3,0/ 78,8°	0,42/-39,3°
		1200	0,43/-179,8°	0,131/64,2°	2,5/ 72,9°	0,41/-40,9°
5	10	40	0,63/-29,7°	0,013/76,5°	24,4/161,0°	0,95/-13,5°
		100	0,56/-66,2°	0,028/64,8°	20,0/139,4°	0,80/-17,8°
		200	0,47/-105,4°	0,042/57,8°	13,6/118,0°	0,59/-37,3°
		500	0,41/-152,0°	0,070/62,6°	6,4/ 94,8°	0,39/-39,0°
		800	0,39/-171,7°	0,099/67,6°	4,1/ 82,7°	0,35/-38,2°
		1000	0,39/-179,6°	0,119/69,1°	3,4/ 76,7°	0,34/-39,1°
		1200	0,39/-171,6°	0,140/70,5°	2,8/ 71,5°	0,33/-40,7°
5	20	40	0,47/-44,2°	0,012/73,8°	35,2/154,0°	0,90/-19,2°
		100	0,42/-90,7°	0,023/63,9°	25,4/129,3°	0,68/-35,0°
		200	0,39/-129,4°	0,034/62,9°	15,6/109,7°	0,47/-41,0°
		500	0,37/-165,1°	0,067/70,5°	6,8/ 90,9°	0,32/-38,4°
		800	0,37/-179,5°	0,101/73,2°	4,4/ 80,3°	0,29/-37,4°
		1000	0,36/-173,0°	0,124/73,4°	3,6/ 75,4°	0,29/-38,3°
		1200	0,37/-166,2°	0,148/73,6°	3,0/ 70,3°	0,28/-40,0°
5	30	40	0,39/-56,3°	0,011/72,3°	40,8/149,5°	0,86/-22,5°
		100	0,38/-106,8°	0,021/64,5°	27,4/124,0°	0,61/-37,9°
		200	0,37/-141,6°	0,032/66,4°	16,0/105,8°	0,41/-41,1°
		500	0,37/-171,0°	0,067/73,5°	6,9/ 88,9°	0,29/-36,6°
		800	0,37/-175,9°	0,102/75,2°	4,4/ 79,1°	0,27/-36,0°
		1000	0,36/-170,0°	0,126/74,8°	3,6/ 74,2°	0,27/-37,1°
		1200	0,37/-163,9°	0,150/74,6°	3,0/ 69,5°	0,27/-39,0°

BFR 93A(R)

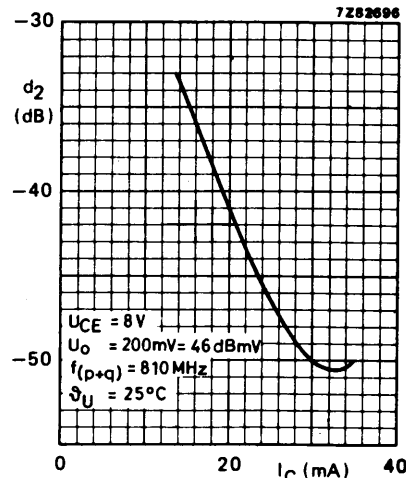
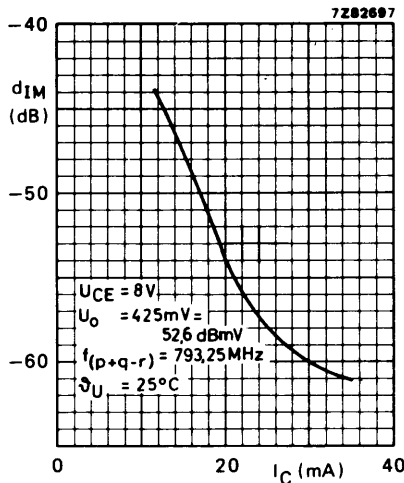
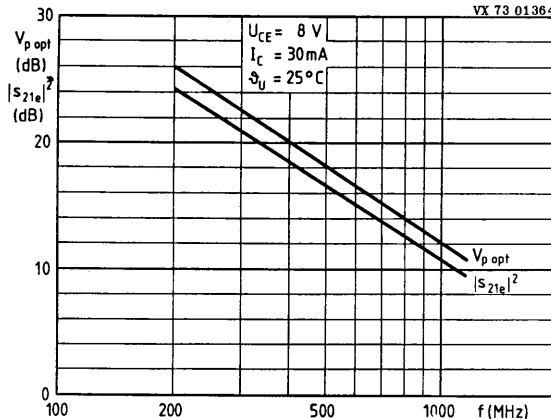
s - Parameter, Emitterschaltung

Arbeitspunkt	Frequ.	Eingangs- Reflexions- faktor s_{11e}	Rückwärts- Übertragungs- faktor s_{12e}	Vorwärts- Übertragungs- faktor s_{21e}	Ausgangs- Reflexions- faktor s_{22e}
		(V) (mA)	(MHz)		
8	2	40	0,90/ -12,2°	0,015/82,1°	6,9/171,7°
		100	0,88/ -29,2°	0,036/74,5°	6,6/160,4°
		200	0,81/ -54,7°	0,064/62,4°	5,9/143,1°
		500	0,64/ -107,0°	0,103/44,9°	3,8/111,5°
		800	0,56/ -138,1°	0,112/42,1°	2,7/ 92,2°
		1000	0,54/ -152,6°	0,116/44,1°	2,3/ 83,6°
		1200	0,52/ -165,2°	0,120/48,5°	1,9/ 75,9°
8	5	40	0,78/ -19,2°	0,014/79,4°	14,8/166,9°
		100	0,73/ -44,6°	0,032/69,0°	13,5/150,4°
		200	0,63/ -78,1°	0,051/57,5°	10,5/129,4°
		500	0,48/ -131,2°	0,077/52,5°	5,6/101,3°
		800	0,44/ -157,3°	0,096/57,7°	3,7/ 86,3°
		1000	0,42/ -168,3°	0,110/61,0°	3,0/ 79,5°
		1200	0,42/ -178,3°	0,126/64,3°	2,6/ 73,6°
8	10	40	0,66/ -27,7°	0,013/76,7°	24,0/161,5°
		100	0,58/ -62,0°	0,027/65,4°	19,9/140,4°
		200	0,48/ -100,1°	0,041/58,0°	13,8/119,0°
		500	0,40/ -148,2°	0,068/62,2°	6,5/ 95,4°
		800	0,38/ -169,1°	0,096/67,4°	4,2/ 83,0°
		1000	0,37/ -178,3°	0,116/69,0°	3,4/ 77,4°
		1200	0,37/ 173,6°	0,136/70,5°	2,9/ 72,5°
8	20	40	0,53/ -39,6°	0,012/73,8°	34,7/154,8°
		100	0,45/ -83,0°	0,023/63,9°	25,6/130,5°
		200	0,39/ -122,0°	0,034/62,2°	15,9/110,6°
		500	0,35/ -161,3°	0,066/69,7°	7,0/ 91,4°
		800	0,35/ -177,9°	0,098/72,7°	4,5/ 80,7°
		1000	0,34/ 175,2°	0,121/73,1°	3,7/ 75,8°
		1200	0,34/ 168,3°	0,143/73,4°	3,1/ 71,2°
8	30	40	0,47/ -48,0°	0,011/72,2°	40,3/150,8°
		100	0,41/ -95,5°	0,021/63,8°	27,5/125,4°
		200	0,36/ -132,8°	0,032/64,9°	16,4/106,8°
		500	0,35/ -166,6°	0,065/72,3°	7,1/ 89,6°
		800	0,34/ 178,8°	0,100/74,4°	4,5/ 79,7°
		1000	0,34/ 172,7°	0,122/74,4°	3,7/ 74,7°
		1200	0,34/ 166,0°	0,145/74,3°	3,1/ 70,3°

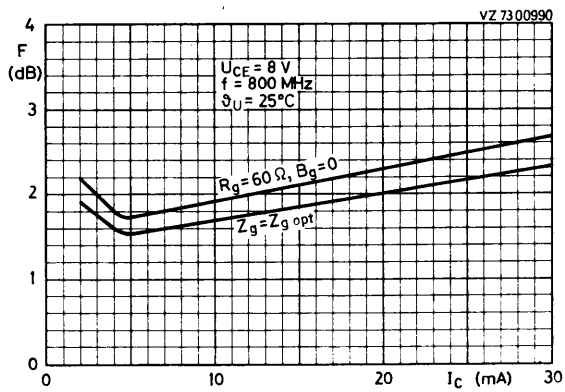
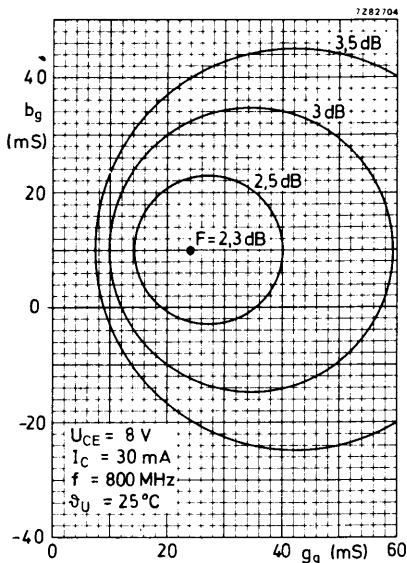
BFR 93A(R)



BFR 93A(R)



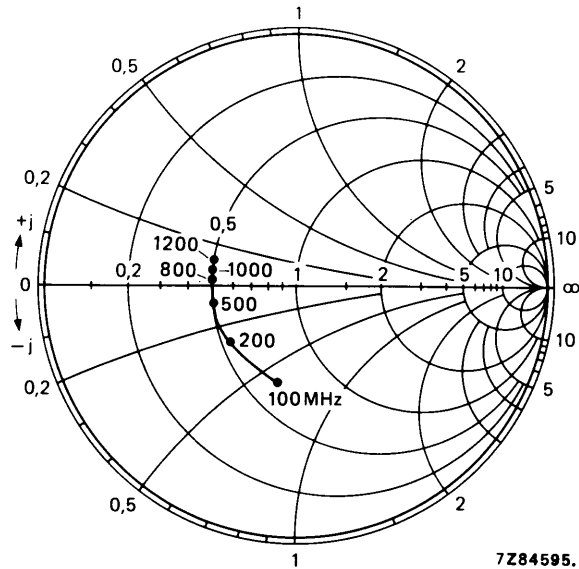
BFR 93A(R)



BFR 93 A(R)

Eingangsimpedanz

abgeleitet aus s_{11e}
normiert auf 50Ω ,
bei $U_{CE} = 8 \text{ V}$
 $I_C = 30 \text{ mA}$
 $\vartheta_U = 25^\circ \text{C}$

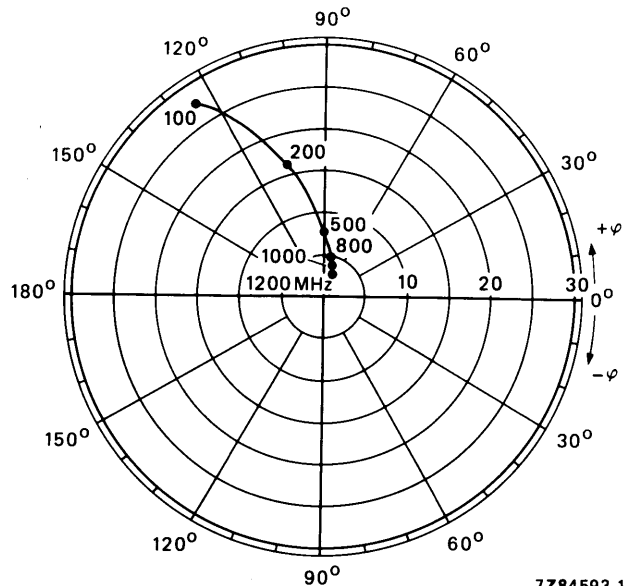


7Z84595.1

Vorwärts-

Übertragungsfaktor s_{21e}

bei $U_{CE} = 8 \text{ V}$
 $I_C = 30 \text{ mA}$
 $\vartheta_U = 25^\circ \text{C}$



7Z84593.1

BFR 93A(R)

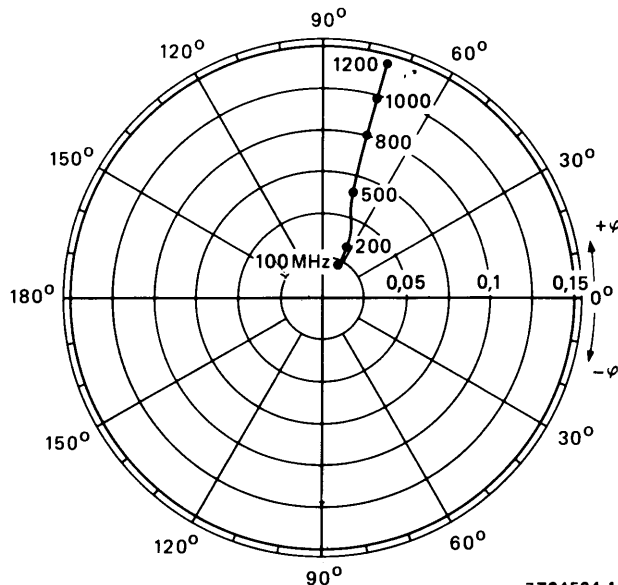
Rückwärts-

Übertragungsfaktor s_{12e}

bei $U_{CE} = 8$ V

$I_C = 30$ mA

$\vartheta_U = 25$ °C



Ausgangsimpedanz

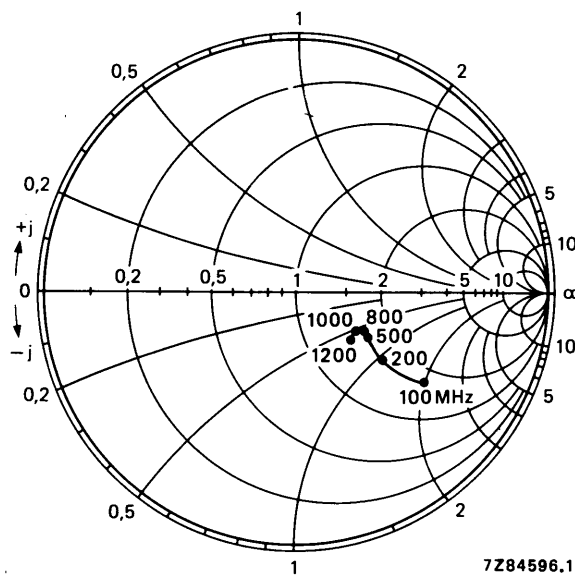
abgeleitet aus s_{22e}

normiert auf 50 Ω,

bei $U_{CE} = 8$ V

$I_C = 30$ mA

$\vartheta_U = 25$ °C



SILIZIUM - NPN - PLANAR - EPITAXIAL - HF - TRANSISTOR
für Breitband- und Antennenverstärker

Mechanische Daten:

Gehäuse: Kunststoff
mit Gewinde-
stutzen,
SOT-48/3

Alle Elektroden sind
vom Gewindestutzen
isoliert.

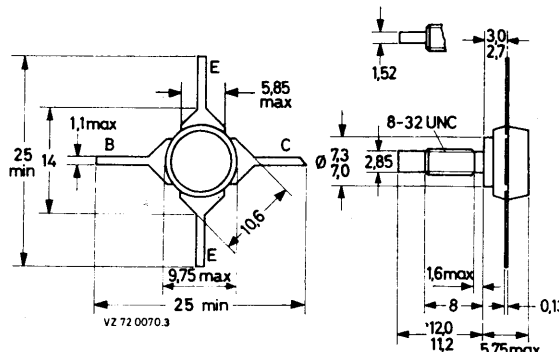
Maßangaben in mm.

Drehmoment
bei Befestigung:

$M_D = 0,75 \dots 0,85 \text{ Nm}$
 $(7,5 \dots 8,5 \text{ kp cm})$

Kühlblech-Bohrung:
 $\varnothing = \text{max. } 4,17 \text{ mm}$

Der Transistor wird
mit Mutter SW 8,6 x 3,5
geliefert.



Kurzdaten:

Kollektor-Sperrspannung

$U_{CB\ 0} = \text{max. } 30 \text{ V}$

Kollektor-Emitter-Sperrspannung

$U_{CE\ 0} = \text{max. } 25 \text{ V}$

Kollektorstrom, Scheitelwert bei $f > 1 \text{ MHz}$

$I_{CM} = \text{max. } 300 \text{ mA}$

Gesamtverlustleistung bei $f > 1 \text{ MHz}$

$P_{tot} = \text{max. } 3,5 \text{ W}$

Sperrsichttemperatur

$\theta_J = \text{max. } 200^\circ\text{C}$

Gleichstromverstärkung

bei $U_{CE} = 20 \text{ V}$, $I_C = 150 \text{ mA}$

$B \geq 30$

Transit-Frequenz

bei $U_{CE} = 20 \text{ V}$, $I_C = 150 \text{ mA}$

$f_T = 3,5 \text{ GHz}$

Breitband-Leistungsverstärkung

bei $U_{CE} = 20 \text{ V}$, $I_C = 90 \text{ mA}$, $f = 40 \dots 300 \text{ MHz}$

$V_p = 11 \text{ dB}$

Absolute Grenzwerte: (gültig bis ϑ_J max)

Kollektor-Sperrspannung bei $I_E = 0$:

$$U_{CB\ 0} = \text{max. } 30 \text{ V}$$

Kollektor-Emitter-Sperrspannung bei $R_{BE} = 10 \Omega$:

$$U_{CE\ R} = \text{max. } 35 \text{ V}$$

bei $I_B = 0$:

$$U_{CE\ 0} = \text{max. } 25 \text{ V}$$

Emitter-Sperrspannung bei $I_C = 0$:

$$U_{EB\ 0} = \text{max. } 3 \text{ V}$$

Kollektorstrom, Mittelwert:

$$I_{C\ AV} = \text{max. } 150 \text{ mA}$$

Kollektorstrom, Scheitelwert, bei $f > 1 \text{ MHz}$:

$$I_{C\ M} = \text{max. } 300 \text{ mA}$$

Gesamtverlustleistung

bei Gleichstrom, $\vartheta_G \leq 160^\circ\text{C}$:

$$P_{tot} = \text{max. } 2,5 \text{ W}$$

bei $f > 1 \text{ MHz}$, $\vartheta_G \leq 145^\circ\text{C}$:

$$P_{tot} = \text{max. } 3,5 \text{ W}$$

Sperrsichttemperatur:

$$\vartheta_J = \text{max. } 200^\circ\text{C}$$

Lagerungstemperatur:

$$\vartheta_S = \text{min. } -65^\circ\text{C}$$

$$\vartheta_S = \text{max. } 200^\circ\text{C}$$

Wärmewiderstand:

zwischen Sperrsicht und Gewindestutzen:

$$R_{th\ G} \leq 15 \text{ K/W}$$

zwischen Gewindestutzen und Kühlblech:

$$R_{th\ G/K} = 0,6 \text{ K/W}$$

Warnung

Dieses Bauelement enthält Beryllium-Oxid (BeO), das in fein verteilter Form giftig ist.

Bei bestimmungsgemäßer Verwendung des Bauelements entstehen keine Gefahren. Ggf. sind entsprechende Sicherheits- und Umweltvorschriften zu beachten.

Kennwerte: bei $\theta_J = 25^\circ\text{C}$, sofern nicht anders angegeben

Kollektor-Reststrom

bei $U_{CB} = 20 \text{ V}$, $I_E = 0$:

$I_{CB\ 0} \leq 50 \mu\text{A}$

Gleichstromverstärkung

bei $U_{CE} = 20 \text{ V}$, $I_C = 50 \text{ mA}$:

$B \geq 30$

bei $U_{CE} = 20 \text{ V}$, $I_C = 150 \text{ mA}$:

$B \geq 30$

Transit-Frequenz

bei $U_{CE} = 20 \text{ V}$, $I_C = 90 \text{ mA}$, $f_M = 500 \text{ MHz}$:

$f_T = 3,5 \text{ GHz}$

bei $U_{CE} = 20 \text{ V}$, $I_C = 150 \text{ mA}$, $f_M = 500 \text{ MHz}$:

$f_T = 3,5 \text{ GHz}$

Kollektorkapazität

bei $U_{CB} = 20 \text{ V}$, $I_E = 0$, $f = 1 \text{ MHz}$:

$C_c = 3,5 \text{ pF}$

Emitterkapazität

bei $U_{EB} = 0,5 \text{ V}$, $I_C = 0$, $f = 1 \text{ MHz}$:

$C_e = 12 \text{ pF}$

Rückwirkungskapazität

bei $U_{CE} = 20 \text{ V}$, $I_C = 10 \text{ mA}$, $f = 1 \text{ MHz}$:

$-C_{12e} = 1,3 \text{ pF}$

Kapazität Kollektor / Gewindestutzen:

$C_{C/G} = 2 \text{ pF}$

Optimale Leistungsverstärkung ¹⁾

bei $U_{CE} = 20 \text{ V}$, $I_C = 90 \text{ mA}$, $f = 500 \text{ MHz}$

$V_{p\ opt} = 13,5 \text{ dB}$

und $\theta_U = 25^\circ\text{C}$:

$V_{p\ opt} = 13,5 \text{ dB}$

Rauschzahl

bei $U_{CE} = 20 \text{ V}$, $I_C = 90 \text{ mA}$, $f = 500 \text{ MHz}$

$F = 5 \text{ dB}$

und $\theta_U = 25^\circ\text{C}$:

$F = 5 \text{ dB}$

Intermodulationsabstand

bei $U_{CE} = 20 \text{ V}$, $I_C = 90 \text{ mA}$, $R_L = 75 \Omega$

$d_{IM} = -60 \text{ dB}$

und $\theta_U = 25^\circ\text{C}$,

$d_{IM} = -60 \text{ dB}$

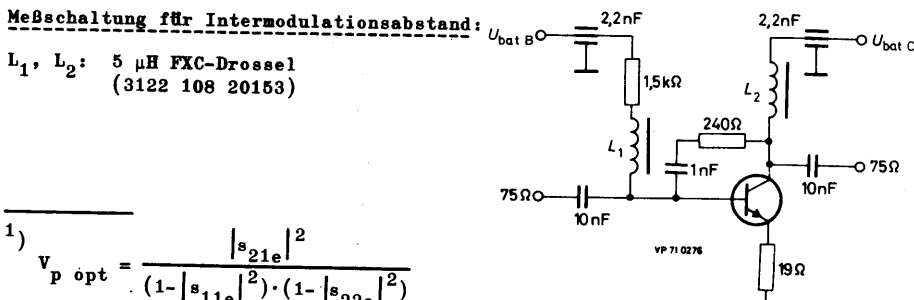
gemessen bei $f_{(p+q-r)} = 493,25 \text{ MHz}$:

$d_{IM} = -60 \text{ dB}$

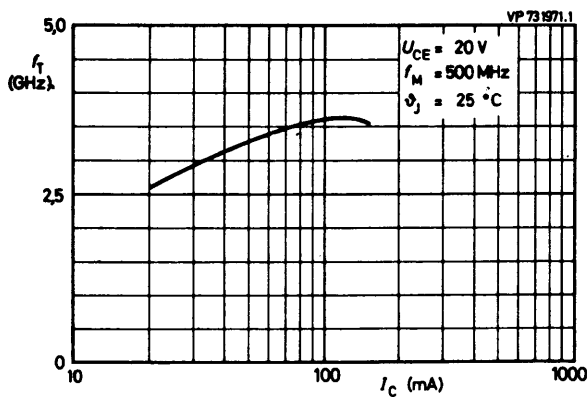
($U_p = U_2 = 700 \text{ mV}$ bei $f = 495,25 \text{ MHz}$)

($U_q = U_2 - 6 \text{ dB}$ bei $f = 503,25 \text{ MHz}$)

($U_r = U_2 - 6 \text{ dB}$ bei $f = 505,25 \text{ MHz}$)



$$1) \quad V_{p\ opt} = \frac{|s_{21e}|^2}{(1 - |s_{11e}|^2) \cdot (1 - |s_{22e}|^2)}$$

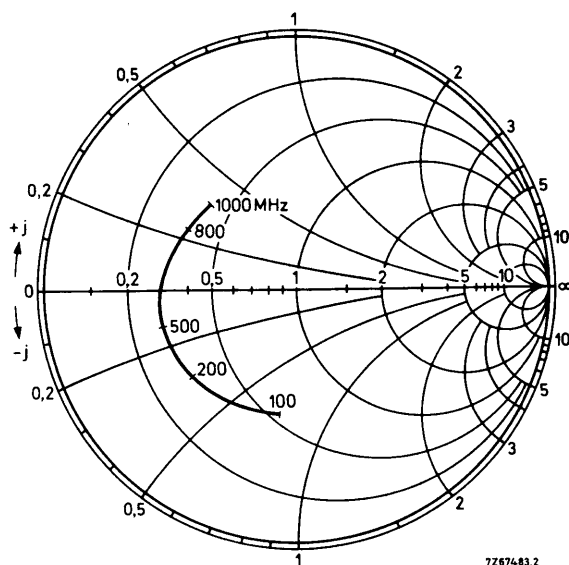


Eingangs-Reflexionsfaktor s_{11e}

bei $U_{CE} = 20 \text{ V}$

$I_C = 90 \text{ mA}$

$\theta_U = 25^\circ \text{C}$

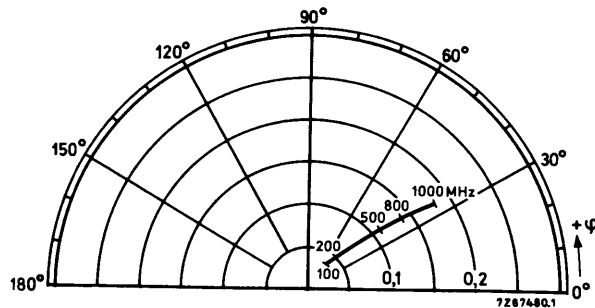


Rückwärts-Übertragungsfaktor s_{12e}

bei $U_{CE} = 20$ V

$I_C = 90$ mA

$\theta_U = 25$ °C

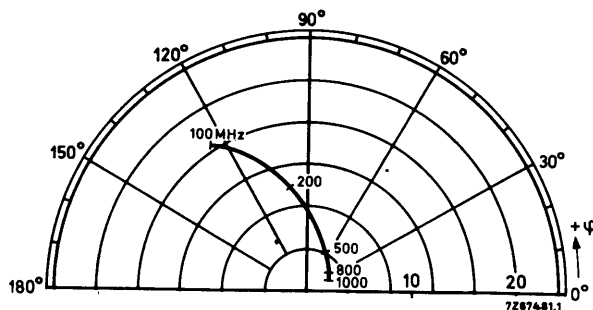


Vorwärts-Übertragungsfaktor s_{21e}

bei $U_{CE} = 20$ V

$I_C = 90$ mA

$\theta_U = 25$ °C

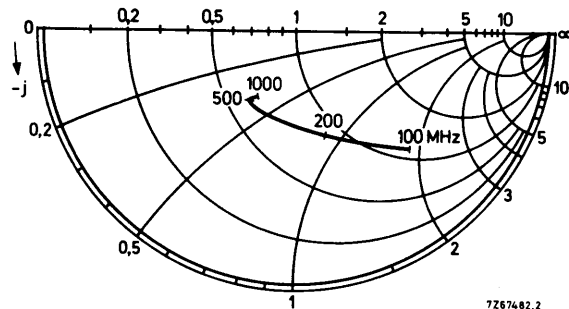


Ausgangs-Reflexionsfaktor s_{22e}

bei $U_{CE} = 20$ V

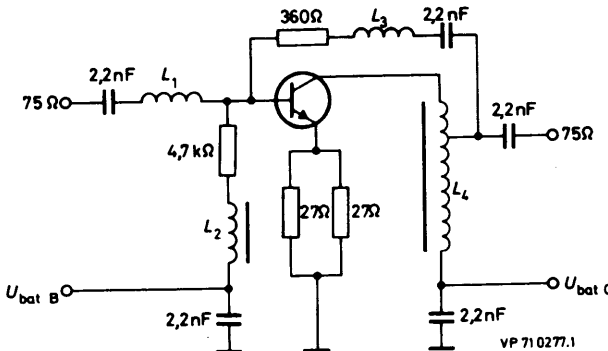
$I_C = 90$ mA

$\theta_U = 25$ °C



BFR 94

Schaltungsbeispiel: Breitband-Verstärker, $f = 40 \dots 300 \text{ MHz} (\pm 0,2 \text{ dB})$



L₁: 2 Wdgns. 0,7 mm CuL, eng gewickelt, Innen-∅ 3 mm

L₂: 5 µH FXC-Drossel (3122 108 20153)

L₃: 5 Wdgns. 0,7 mm CuL, eng gewickelt, Innen-∅ 4,7 mm

L₄: 18 + 1 Wdgns. 0,3 mm CuL auf FXC-Ringkern 4322 020 91001

Breitband-Leistungsverstärkung
bei $U_{CE} = 20 \text{ V}$, $I_C = 90 \text{ mA}$:

$$V_p = 11 (\geq 10) \text{ dB}$$

Rauschzahl
bei $U_{CE} = 20 \text{ V}$, $I_C = 90 \text{ mA}$, $f = 200 \text{ MHz}$:

$$F = 8 (\leq 10) \text{ dB}$$

Kreuzmodulationsabstand in Kanal 13

bei $U_{CE} = 20 \text{ V}$, $I_C = 90 \text{ mA}$, $U_2 = 48 \text{ dBmV}$:

$$d_{KM} = -61 (\geq -57) \text{ dB}$$

bei $U_{CE} = 20 \text{ V}$, $I_C = 90 \text{ mA}$, $U_2 = 32 \text{ dBmV}$:

$$d_{KM} = -93 (\geq -89) \text{ dB}$$

Intermodulationsabstand

bei $U_{CE} = 20 \text{ V}$, $I_C = 90 \text{ mA}$, $R_L = 75 \Omega$,

$$d_{IM} = -63 \text{ dB}$$

gemessen bei $f_{(p+q-r)} = 194,25 \text{ MHz}$:

($U_p = U_2 = 60 \text{ dBmV}$ bei $f_p = 196,25 \text{ MHz}$)

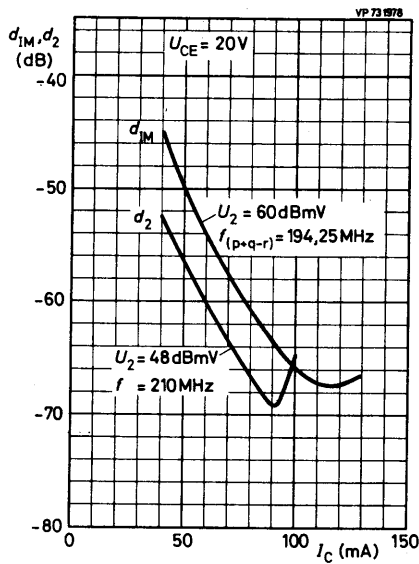
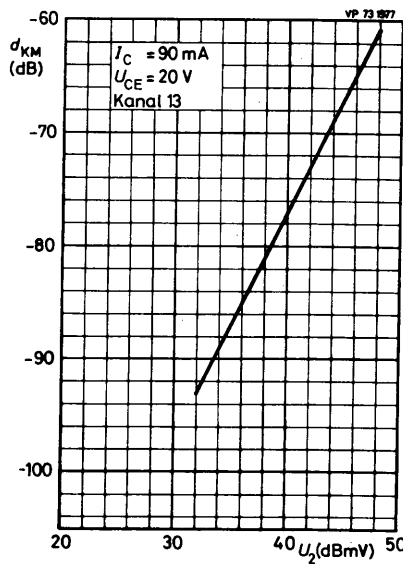
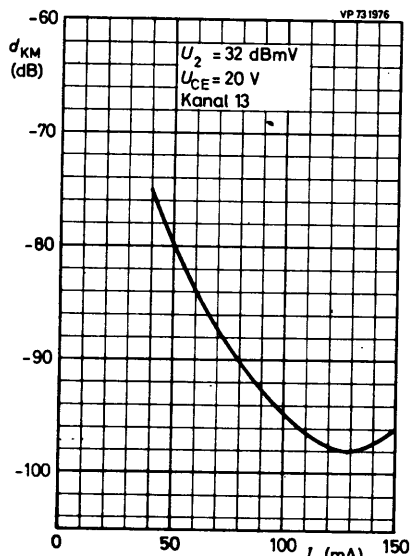
($U_q = U_2 - 6 \text{ dB}$ bei $f_q = 203,25 \text{ MHz}$)

($U_r = U_2 - 6 \text{ dB}$ bei $f_r = 205,25 \text{ MHz}$)

Abstand der 2. Harmonischen

bei $U_{CE} = 20 \text{ V}$, $I_C = 90 \text{ mA}$, $U_2 = 48 \text{ dBmV}$

($f_p = 66 \text{ MHz}$, $f_q = 144 \text{ MHz}$, $f_{p+q} = 210 \text{ MHz}$): $d_2 \geq -56 \text{ dB}$



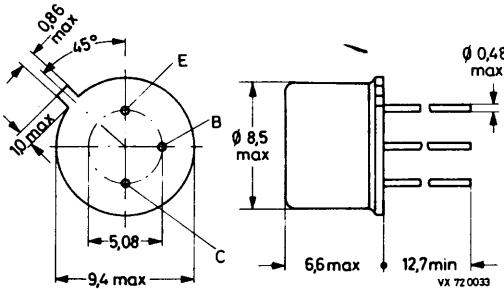
SILIZIUM - NPN - PLANAR - EPITAXIAL - TRANSISTOR
 für Breitband- und Antennenverstärker

Mechanische Daten:

Gehäuse: Metall, JEDEC TO-39,
 5 C 3 DIN 41 873

Der Kollektor ist mit dem
 Gehäuse leitend verbunden.

Maßangaben in mm.



Kurzdaten:

Kollektor-Sperrspannung

$U_{CB\ 0}$ = max. 30 V

Kollektor-Emitter-Sperrspannung

$U_{CE\ 0}$ = max. 25 V

Kollektorstrom, Scheitelwert bei $f > 1$ MHz

I_{CM} = max. 300 mA

Gesamtverlustleistung

P_{tot} = max. 1,5 W

Sperrsichttemperatur

θ_J = max. 200 °C

Gleichstromverstärkung

bei $U_{CE} = 20$ V, $I_C = 50$ mA

B \geq 30

Transit-Frequenz

bei $U_{CE} = 20$ V, $I_C = 80$ mA

f_T = 3,5 GHz

Breitband-Leistungsverstärkung

bei $U_{CE} = 18$ V, $I_C = 80$ mA, $f = 40 \dots 300$ MHz

V_p = 9 dB

Absolute Grenzwerte: (gültig bis θ_J max)

Kollektor-Sperrspannung bei $I_E = 0$:

$$U_{CB\ 0} = \text{max. } 30 \text{ V}$$

Kollektor-Emitter-Sperrspannung

$$\text{bei } R_{BE} = 10 \Omega, I_C = 10 \text{ mA:}$$

$$U_{CE\ R} = \text{max. } 35 \text{ V}$$

$$\text{bei } I_B = 0, I_C = 10 \text{ mA:}$$

$$U_{CE\ 0} = \text{max. } 25 \text{ V}$$

Emitter-Sperrspannung bei $I_C = 0$:

$$U_{EB\ 0} = \text{max. } 3 \text{ V}$$

Kollektorstrom, Mittelwert:

$$I_{C\ AV} = \text{max. } 150 \text{ mA}$$

Kollektorstrom, Scheitelwert bei $f > 1 \text{ MHz}$:

$$I_{C\ M} = \text{max. } 300 \text{ mA}$$

Gesamtverlustleistung bei $\theta_U \leq 25^\circ\text{C}$:

$$P_{tot} = \text{max. } 0,7 \text{ W}$$

$$\text{bei } \theta_G \leq 125^\circ\text{C:}$$

$$P_{tot} = \text{max. } 1,5 \text{ W}$$

Sperrsichttemperatur:

$$\theta_J = \text{max. } 200^\circ\text{C}$$

Lagerungstemperatur:

$$\theta_S = \text{max. } 200^\circ\text{C}$$

$$\theta_S = \text{min. } -65^\circ\text{C}$$

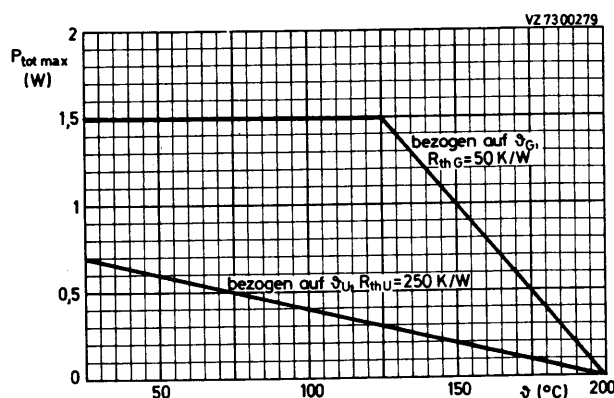
Wärmewiderstand:

zwischen Sperrsicht und Umgebung:

$$R_{th\ U} \leq 250 \text{ K/W}$$

zwischen Sperrsicht und Gehäuseboden:

$$R_{th\ G} \leq 50 \text{ K/W}$$



Kennwerte: bei $\theta_J = 25^\circ\text{C}$

Kollektor-Reststrom

bei $I_E = 0$, $U_{CB} = 20 \text{ V}$:

$$I_{CB \ 0} \leq 50 \mu\text{A}$$

Gleichstromverstärkung

bei $U_{CE} = 20 \text{ V}$, $I_C = 50 \text{ mA}$:

$$B \geq 30$$

bei $U_{CE} = 20 \text{ V}$, $I_C = 150 \text{ mA}$:

$$B \geq 30$$

Transit-Frequenz

bei $U_{CE} = 20 \text{ V}$, $I_C = 80 \text{ mA}$, $f_M = 500 \text{ MHz}$:

$$f_T = 3,5 \text{ GHz}$$

bei $U_{CE} = 20 \text{ V}$, $I_C = 150 \text{ mA}$, $f_M = 500 \text{ MHz}$:

$$f_T = 3,5 \text{ GHz}$$

Kollektorkapazität

bei $U_{CB} = 20 \text{ V}$, $I_E = 0$, $f = 1 \text{ MHz}$:

$$C_c = 3,5 \text{ pF}$$

Rückwirkungskapazität

bei $U_{CE} = 20 \text{ V}$, $I_C = 10 \text{ mA}$, $f = 1 \text{ MHz}$:

$$-C_{12e} = 1,6 \text{ pF}$$

Breitband-Leistungsverstärkung

bei $U_{CE} = 18 \text{ V}$, $I_C = 80 \text{ mA}$, $f = 40 \dots 300 \text{ MHz}$:

$$V_p = 9 (\geq 8) \text{ dB}$$

Rauschzahl

bei $U_{CE} = 18 \text{ V}$, $I_C = 80 \text{ mA}$, $f = 200 \text{ MHz}$:

$$F = 9 (\leq 10) \text{ dB}$$

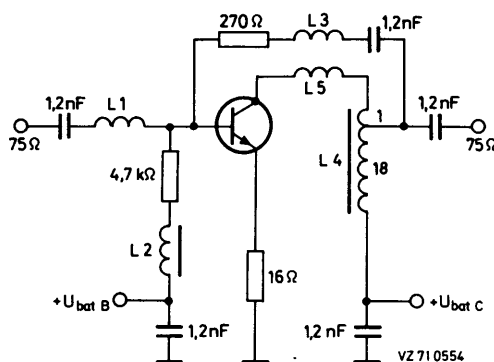
L1 2 Wdgn. 0,7 mm CuL,
Innen-Ø 3 mm,
eng gewickelt

L2 5 µH FXC-Drossel,
3122 108 20153

L3 3 Wdgn. 0,7 mm CuL,
Innen-Ø 4,7 mm,
eng gewickelt

L4 19 Wdgn. 0,3 mm CuL
auf FXC-Ringkern
4322 020 91001

L5 2 Wdgn. 0,7 mm CuL,
Innen-Ø 3 mm,
eng gewickelt

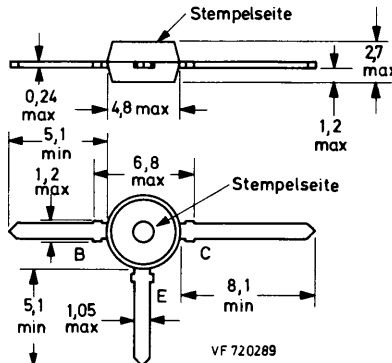


SILIZIUM - NPN - PLANAR - EPITAXIAL - HF - TRANSISTOR
für Breitband- und Antennenverstärker

Mechanische Daten:

Gehäuse: Kunststoff,
SOT-37

Maßangaben in mm.



Kurzdaten:

Kollektor-Sperrspannung

$U_{CB\ 0}$ = max. 20 V

Kollektor-Emitter-Sperrspannung

$U_{CE\ 0}$ = max. 15 V

Kollektorstrom, Mittelwert

$I_{C\ AV}$ = max. 100 mA

Gesamtverlustleistung bei $\theta_U \leq 70^\circ C$

P_{tot} = max. 700 mW

Sperrsichttemperatur

θ_J = max. 175 $^\circ C$

Transit-Frequenz

bei $U_{CE} = 10$ V, $I_C = 70$ mA f_T = 5 GHz

Erzielbare Leistungsverstärkung

bei $U_{CE} = 10$ V, $I_C = 70$ mA, $f = 800$ MHz $V_p\ opt$ = 11,5 dB

Rauschzahl

bei $U_{CE} = 10$ V, $I_C = 70$ mA, $f = 800$ MHz F = 4,0 dB

Ausgangsspannung

bei Intermodulationsabstand $d_{IM} = -60$ dB

bei $U_{CE} = 10$ V, $I_C = 70$ mA, $f \approx 800$ MHz U_o = 700 mV

BFR 96 S

Absolute Grenzwerte: (gültig bis θ_J max)

Kollektor-Sperrspannung bei $I_E = 0$:

$U_{CB\ 0}$ = max. 20 V

Kollektor-Emitter-Sperrspannung bei $I_B = 0$:

$U_{CE\ 0}$ = max. 15 V

Emitter-Sperrspannung bei $I_C = 0$:

$U_{EB\ 0}$ = max. 3 V

Kollektorstrom, Mittelwert:

$I_{C\ AV}$ = max. 100 mA

Gesamtverlustleistung bei $\theta_U \leq 70^\circ C$: 1)

P_{tot} = max. 700 mW

Sperrsichttemperatur:

θ_J = max. 175 °C

Lagerungstemperatur:

θ_S = min. -65 °C

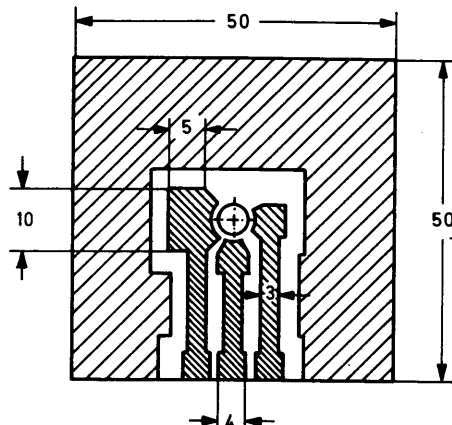
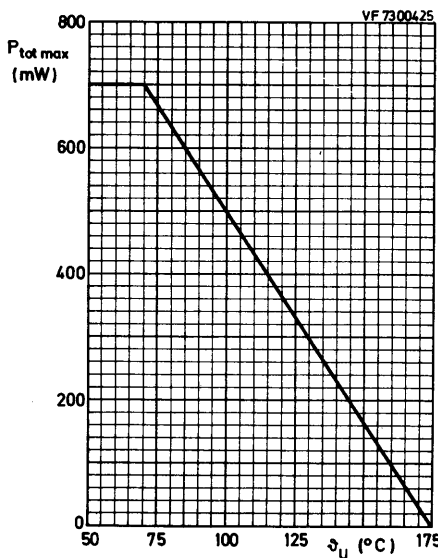
θ_S = max. 175 °C

Wärmewiderstand:

zwischen Sperrsicht und Umgebung: 1)

$R_{th\ U} \leq 150$ K/W

1) Transistor auf Glasfaser-Leiterplatte von 50 mm x 50 mm x 1,5 mm mit 35 µm Cu-Kaschierung, Leiterbahnen verzinkt, vgl. Skizze



Kennwerte: bei $\vartheta_J = 25^\circ\text{C}$, sofern nicht anders angegeben

Kollektor-Reststrom
bei $I_E = 0$, $U_{CB} = 10 \text{ V}$: $I_{CB \ 0} \leq 100 \text{ nA}$

Gleichstromverstärkung
bei $U_{CE} = 10 \text{ V}$, $I_C = 70 \text{ mA}$: $B \geq 25$

Transit-Frequenz
bei $U_{CE} = 10 \text{ V}$, $I_C = 70 \text{ mA}$, $f_M = 500 \text{ MHz}$: $f_T = 5 \text{ GHz}$

Kollektorkapazität
bei $U_{CB} = 10 \text{ V}$, $I_E = 0$, $f = 1 \text{ MHz}$: $C_c = 1,5 \text{ pF}$

Emitterkapazität
bei $U_{EB} = 0,5 \text{ V}$, $I_C = 0$, $f = 1 \text{ MHz}$: $C_e = 6,5 \text{ pF}$

Rückwirkungskapazität
bei $U_{CE} = 10 \text{ V}$, $I_C = 0$, $f = 1 \text{ MHz}$: $C_{12e} = 1,0 \text{ pF}$

Erzielbare Leistungsverstärkung
bei $U_{CE} = 10 \text{ V}$, $I_C = 70 \text{ mA}$, $f = 800 \text{ MHz}$
und $\vartheta_U = 25^\circ\text{C}$: $V_p \text{ opt} = 11,5 \text{ dB}$

Rauschzahl
bei $U_{CE} = 10 \text{ V}$, $I_C = 70 \text{ mA}$, $f = 800 \text{ MHz}$
und $\vartheta_U = 25^\circ\text{C}$, $R_g = R_g \text{ opt}$: $F = 4,0 \text{ dB}$

Ausgangsspannung
bei Intermodulationsabstand $d_{IM} = -60 \text{ dB}$
(DIN 45 004 B, Dreiton)
bei $U_{CE} = 10 \text{ V}$, $I_C = 70 \text{ mA}$, $R_L = 75 \Omega$, $\vartheta_U = 25^\circ\text{C}$
mit $U_p = U_o = 316 \text{ mV} = 50 \text{ dBmV}$ bei $f_p = 250 \text{ MHz}$,
 $U_q = U_o = 316 \text{ mV} = 50 \text{ dBmV}$ bei $f_q = 560 \text{ MHz}$,
 $U_r = U_o = 316 \text{ mV} = 50 \text{ dBmV}$ bei $f_r = 795,25 \text{ MHz}$,
gemessen bei $f_{(p+q-r)} = 810 \text{ MHz}$: $U_o = 700 \text{ mV}$

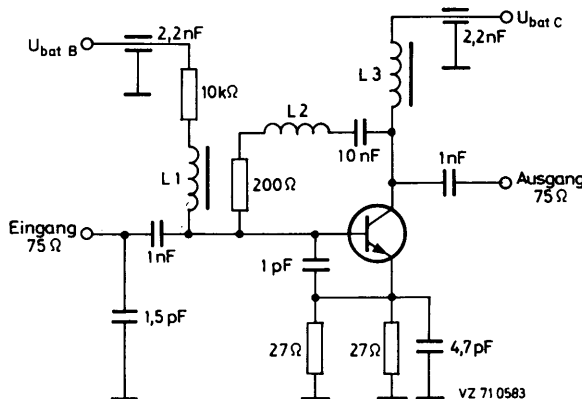
Abstand der 2.Harmonischen
bei $U_{CE} = 10 \text{ V}$, $I_C = 70 \text{ mA}$, $R_L = 75 \Omega$, $\vartheta_U = 25^\circ\text{C}$
mit $U_p = U_o = 316 \text{ mV} = 50 \text{ dBmV}$ bei $f_p = 250 \text{ MHz}$,
 $U_q = U_o = 316 \text{ mV} = 50 \text{ dBmV}$ bei $f_q = 560 \text{ MHz}$,
gemessen bei $f_{(p+q)} = 810 \text{ MHz}$: $d_2 = -52 \text{ dB}$

BFR 96 S

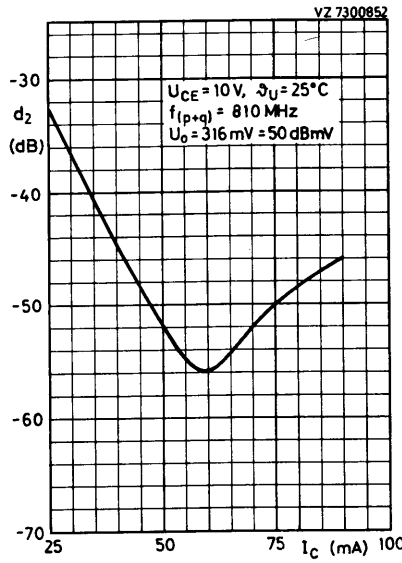
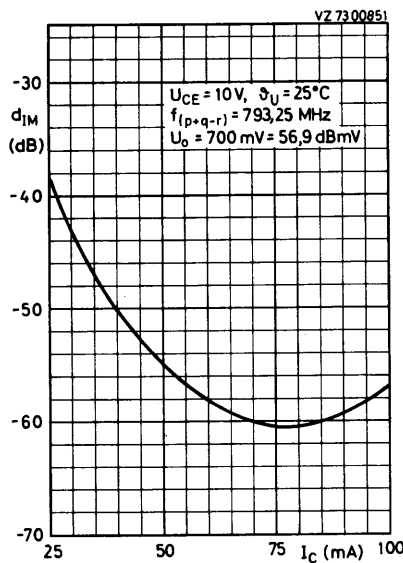
Meßschaltung für d_{IM} und d_2

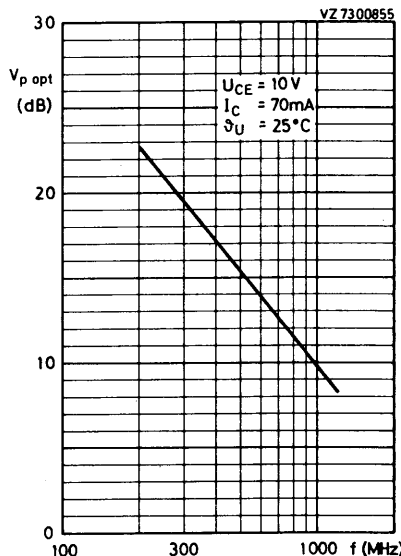
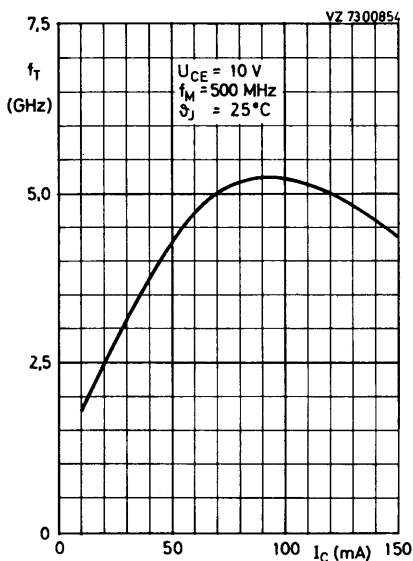
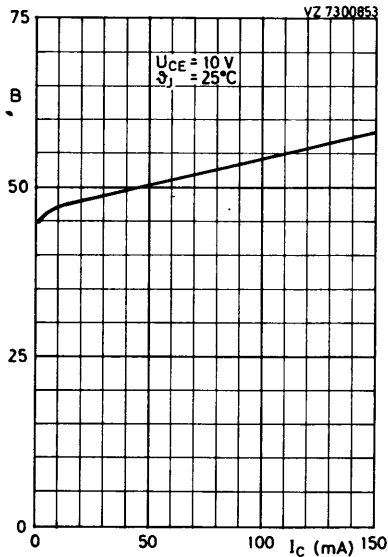
$L1 = L3 = 5 \mu\text{H}$
(Mikrodrosseln)

$L2: 1,5 \text{ Wdgn.}$
 $0,4 \text{ mm Cu}$
Innen- $\varnothing 3 \text{ mm}$
Steigung 1 mm



VZ 710583





BFR 96 S

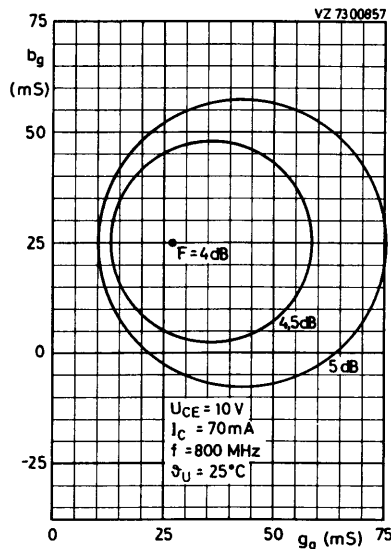
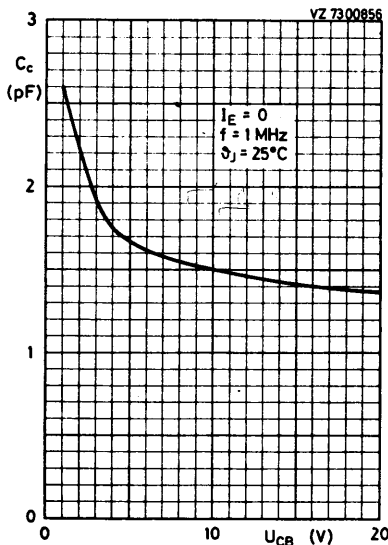
s - Parameter in Emitterschaltung, bei $U_{CE} = 5 \text{ V}$

I_C (mA)	f (MHz)	Eingangs- Reflexions- faktor s_{11e}	Vorwärts- Übertragungs- faktor s_{21e}	Rückwärts- Übertragungs- faktor s_{12e}	Ausgangs- Reflexions- faktor s_{22e}
5	40	0,75 / -41,5°	15,1 / +155,2°	0,026 / +69,1°	0,93 / -17,4°
	200	0,62 / -128,1°	7,1 / +106,9°	0,064 / +41,9°	0,53 / -43,3°
	500	0,55 / -174,6°	3,2 / +79,8°	0,087 / +47,0°	0,40 / -53,2°
	800	0,56 / +158,7°	2,1 / +65,0°	0,115 / +56,5°	0,39 / -63,2°
	1000	0,58 / +146,7°	1,7 / +56,6°	0,135 / +59,2°	0,39 / -72,5°
	1200	0,61 / +135,5°	1,4 / +48,9°	0,159 / +61,7°	0,39 / -83,0°
10	40	0,60 / -59,1°	24,3 / +147,2°	0,022 / +64,1°	0,86 / -26,6°
	200	0,54 / -146,1°	9,1 / +100,7°	0,050 / +49,4°	0,38 / -54,7°
	500	0,50 / +175,8°	3,9 / +78,6°	0,087 / +59,3°	0,27 / -62,8°
	800	0,52 / +152,4°	2,5 / +65,8°	0,129 / +63,7°	0,27 / -72,2°
	1000	0,53 / +141,0°	2,1 / +58,0°	0,157 / +63,9°	0,27 / -80,7°
	1200	0,56 / +130,7°	1,7 / +51,2°	0,186 / +63,3°	0,27 / -90,9°
30	40	0,39 / -105,6°	39,6 / +133,3°	0,015 / +60,7°	0,69 / -44,1°
	200	0,44 / -168,4°	11,1 / +94,3°	0,041 / +65,9°	0,23 / -78,2°
	500	0,46 / +165,1°	4,7 / +77,3°	0,094 / +70,3°	0,16 / -88,4°
	800	0,48 / +145,1°	3,0 / +66,5°	0,146 / +69,2°	0,16 / -98,3°
	1000	0,51 / +135,6°	2,5 / +60,1°	0,175 / +66,6°	0,16 / -109,3°
	1200	0,53 / +126,2°	2,1 / +54,0°	0,206 / +64,2°	0,17 / -119,7°
50	40	0,37 / -129,3°	44,6 / +127,8°	0,013 / +63,4°	0,62 / -51,4°
	200	0,43 / -174,7°	11,5 / +92,5°	0,040 / +71,5°	0,19 / -89,2°
	500	0,45 / +162,4°	4,8 / +76,8°	0,095 / +72,7°	0,14 / -101,5°
	800	0,48 / +143,4°	3,1 / +66,5°	0,151 / +70,1°	0,14 / -111,5°
	1000	0,50 / +134,3°	2,5 / +60,4°	0,182 / +67,4°	0,14 / -121,5°
	1200	0,52 / +124,9°	2,1 / +54,6°	0,215 / +64,8°	0,15 / -130,7°
70	40	0,38 / -141,7°	46,9 / +124,9°	0,011 / +65,1°	0,57 / -55,8°
	200	0,43 / -177,6°	11,6 / +91,6°	0,040 / +73,7°	0,18 / -96,3°
	500	0,46 / +161,2°	4,9 / +76,5°	0,095 / +73,9°	0,13 / -109,5°
	800	0,49 / +143,1°	3,1 / +66,4°	0,150 / +70,6°	0,13 / -120,7°
	1000	0,49 / +133,5°	2,5 / +60,2°	0,186 / +67,7°	0,14 / -126,2°
	1200	0,52 / +124,1°	2,1 / +54,6°	0,218 / +65,0°	0,15 / -135,3°

s - Parameter in Emitterschaltung, bei $U_{CE} = 10$ V

I_C (mA)	f (MHz)	Eingangs- Reflexions- faktor s_{11e}	Vorwärts- Übertragungs- faktor s_{21e}	Rückwärts- Übertragungs- faktor s_{12e}	Ausgangs- Reflexions- faktor s_{22e}
5	40	0,77 / -38,9°	15,2 / +156,2°	0,023 / +69,1°	0,93 / -15,4°
	200	0,62 / -124,0°	7,4 / +108,3°	0,059 / +43,1°	0,57 / -38,0°
	500	0,54 / -172,5°	3,4 / +80,8°	0,081 / +48,0°	0,45 / -46,8°
	800	0,55 / +159,9°	2,2 / +65,9°	0,106 / +57,8°	0,43 / -57,1°
	1000	0,56 / +147,2°	1,8 / +57,5°	0,126 / +61,5°	0,43 / -64,9°
	1200	0,58 / +135,9°	1,5 / +50,1°	0,150 / +64,4°	0,42 / -74,7°
10	40	0,62 / -54,5°	24,5 / +148,7°	0,020 / +64,9°	0,87 / -23,5°
	200	0,53 / -142,3°	9,6 / +102,0°	0,046 / +49,6°	0,42 / -47,8°
	500	0,48 / +177,6°	4,2 / +79,4°	0,080 / +59,4°	0,31 / -54,2°
	800	0,50 / +153,2°	2,7 / +66,4°	0,118 / +64,0°	0,31 / -63,5°
	1000	0,52 / +142,3°	2,2 / +59,1°	0,143 / +64,1°	0,31 / -70,0°
	1200	0,54 / +131,8°	1,8 / +52,4°	0,168 / +64,3°	0,30 / -79,5°
30	40	0,41 / -94,4°	40,9 / +135,0°	0,014 / +62,2°	0,72 / -39,2°
	200	0,42 / -164,6°	11,8 / +95,1°	0,039 / +65,5°	0,25 / -64,5°
	500	0,42 / +167,0°	4,9 / +77,9°	0,087 / +70,4°	0,19 / -71,1°
	800	0,45 / +146,6°	3,2 / +67,1°	0,136 / +69,3°	0,18 / -79,1°
	1000	0,47 / +136,6°	2,6 / +60,6°	0,166 / +67,2°	0,18 / -83,8°
	1200	0,49 / +126,3°	2,2 / +54,6°	0,196 / +65,0°	0,17 / -95,1°
50	40	0,36 / -114,4°	46,5 / +129,6°	0,012 / +62,7°	0,63 / -45,7°
	200	0,40 / -171,0°	12,3 / +93,1°	0,038 / +70,4°	0,20 / -71,4°
	500	0,41 / +163,9°	5,1 / +77,1°	0,090 / +72,4°	0,16 / -79,7°
	800	0,44 / +144,7°	3,3 / +66,7°	0,140 / +70,1°	0,15 / -86,0°
	1000	0,47 / +135,3°	2,7 / +60,8°	0,168 / +67,3°	0,14 / -95,3°
	1200	0,49 / +125,2°	2,3 / +55,2°	0,197 / +65,0°	0,14 / -106,6°
70	40	0,35 / -125,4°	49,1 / +125,7°	0,012 / +63,6°	0,58 / -49,5°
	200	0,40 / -173,7°	12,4 / +92,0°	0,038 / +72,7°	0,18 / -74,8°
	500	0,41 / +162,6°	5,2 / +76,7°	0,091 / +73,2°	0,15 / -82,0°
	800	0,44 / +144,1°	3,3 / +66,4°	0,143 / +70,2°	0,14 / -87,4°
	1000	0,46 / +134,6°	2,7 / +60,2°	0,175 / +67,3°	0,13 / -95,3°
	1200	0,48 / +124,1°	2,3 / +54,6°	0,200 / +64,8°	0,13 / -109,5°

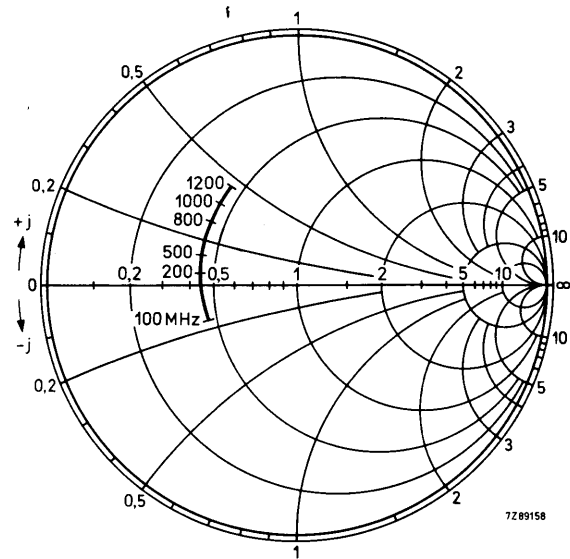
BFR 96 S



Eingangsimpedanz

abgeleitet aus s_{11e}
normiert auf 50Ω ,

bei $U_{CE} = 10 \text{ V}$
 $I_C = 70 \text{ mA}$
 $\vartheta_U = 25^\circ\text{C}$



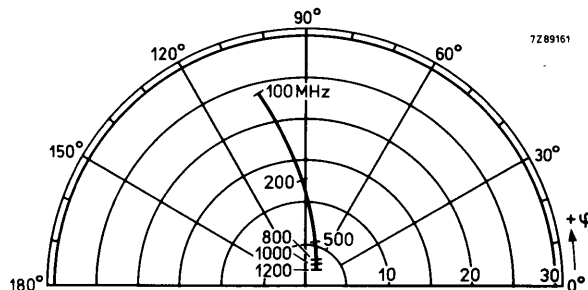
BFR 96 S

Vorwärts-
Übertragungsfaktor s_{21e}

bei $U_{CE} = 10$ V

$I_C = 70$ mA

$\vartheta_U = 25$ °C

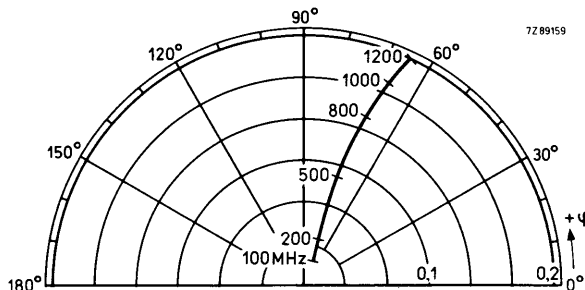


Rückwärts-
Übertragungsfaktor s_{12e}

bei $U_{CE} = 10$ V

$I_C = 70$ mA

$\vartheta_U = 25$ °C



Ausgangsimpedanz

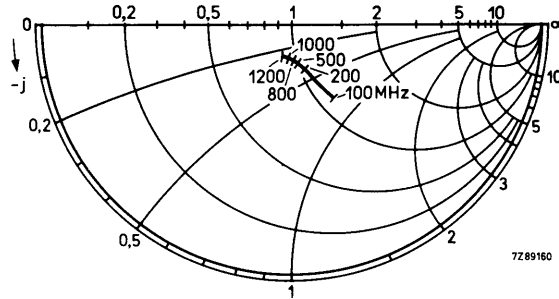
abgeleitet aus s_{22e}

normiert auf 50 Ω,

bei $U_{CE} = 10$ V

$I_C = 70$ mA

$\vartheta_U = 25$ °C



BFR 101 A

BFR 101 B

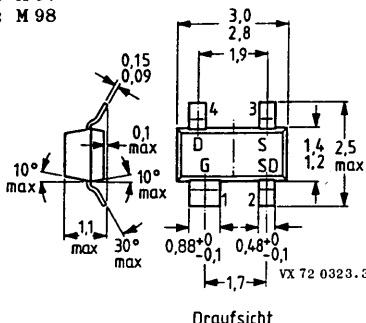
Symmetrische N-KANAL - SPERRSCHICHT - FELDEFFEKT - TRANSISTOREN
mit integrierten Schutzdioden, für Emitterfolger-Schaltungen

Mechanische Daten:

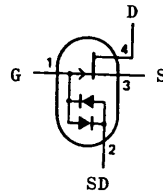
Gehäuse: Kunststoff,
SOT-143

Stempel: BFR 101 A: M 97
BFR 101 B: M 98

Maßangaben in mm.



Draufsicht



Kurzdaten:

Drain-Source-Spannung

$\pm U_{DS}$ = max. 30 V

Gate-Source-Spannung

$-U_{GS}$ = max. 30 V

Drainstrom

I_D = max. 20 mA

Gatestrom

I_G = max. 10 mA

Gesamtverlustleistung bei $\theta_J \leq 60^\circ\text{C}$

P_{tot} = max. 200 mW

Sperrsichttemperatur

θ_J = max. 150 $^\circ\text{C}$

BFR 101 A BFR 101 B

Drain-Source-Kurzschlußstrom
bei $U_{DS} = 6 \text{ V}$

$I_{DS\ S}$ = 0,2...1,5 1,0...5,0 mA

Vorwärtsssteilheit

bei $U_{DS} = 6 \text{ V}$, $U_{GS} = 0$, $f = 1 \text{ kHz}$

$|y_{21s}| \geq 1,2 2,5 \text{ mS}$

BFR 101 A

BFR 101 B

Absolute Grenzwerte:

Drain-Source-Spannung:	$\pm U_{DS}$	= max.	30	V
Gate-Drain-Spannung ($I_S = 0$):	$-U_{GD}$	0 = max.	30	V
Gate-Source-Spannung ($I_D = 0$):	$-U_{GS}$	0 = max.	30	V
Drainstrom:	I_D	= max.	20	mA
Gatestrom:	I_G	= max.	10	mA
Gesamtverlustleistung bei $\vartheta_U \leq 60^\circ\text{C}$: ¹⁾	P_{tot}	= max.	200	mW
Sperrsichttemperatur:	ϑ_J	= max.	150	$^\circ\text{C}$
Lagerungstemperatur:	ϑ_S	= min.	-65	$^\circ\text{C}$
	ϑ_S	= max.	150	$^\circ\text{C}$

Wärmewiderstand:

zwischen Sperrsicht und Umgebung:	¹⁾	$R_{th U}$	=	0,46	K/mW
-----------------------------------	---------------	------------	---	------	------

¹⁾ Transistor auf Keramik-Substrat von 8 mm x 10 mm x 0,7 mm

<u>Kennwerte:</u> bei $\vartheta_U = 25^\circ\text{C}$		<u>BFR 101 A</u>	<u>BFR 101 B</u>
Gate-Reststrom bei $U_{DS} = 6$ V, $I_D = 10$ μA :	$-I_G$	\leq	5 nA
Drain-Source-Kurzschlußstrom bei $U_{DS} = 6$ V, $U_{GS} = 0$:	$I_{DS S}$	= 0,2...1,5	1,0...5,0 mA
Gate-Source-Abschnürspannung bei $U_{DS} = 6$ V, $I_D = 1$ μA :	$-U_P$	= 0,2...1,0	0,5...2,5 V
Vorwärtssteilheit bei $U_{DS} = 6$ V, $U_{GS} = 0$, $f = 1$ kHz:	$ y_{21s} $	\geq 1,2	2,5 mS
Eingangskapazität bei $U_{DS} = 6$ V, $U_{GS} = 0$, $f = 1$ MHz: ²⁾	C_{11s}	\leq 5 pF	
Ausgangsleitwert bei $U_{DS} = 6$ V, $U_{GS} = 0$, $f = 1$ kHz:	$ y_{22s} $	= 10	50 mS
Dioden-Durchlaßspannung bei $I_F = 10$ mA:	U_F	= 0,7...1,2	V
Diodenkapazität bei $U_R = 0$: ³⁾	C	= 0,7	pF

²⁾ Schutzdioden nicht angeschlossen

³⁾ Drain und Source offen